

Séminaire UBS Vannes
10 Décembre 2021

Animé par Laurent Vandanjon, enseignant-chercheur

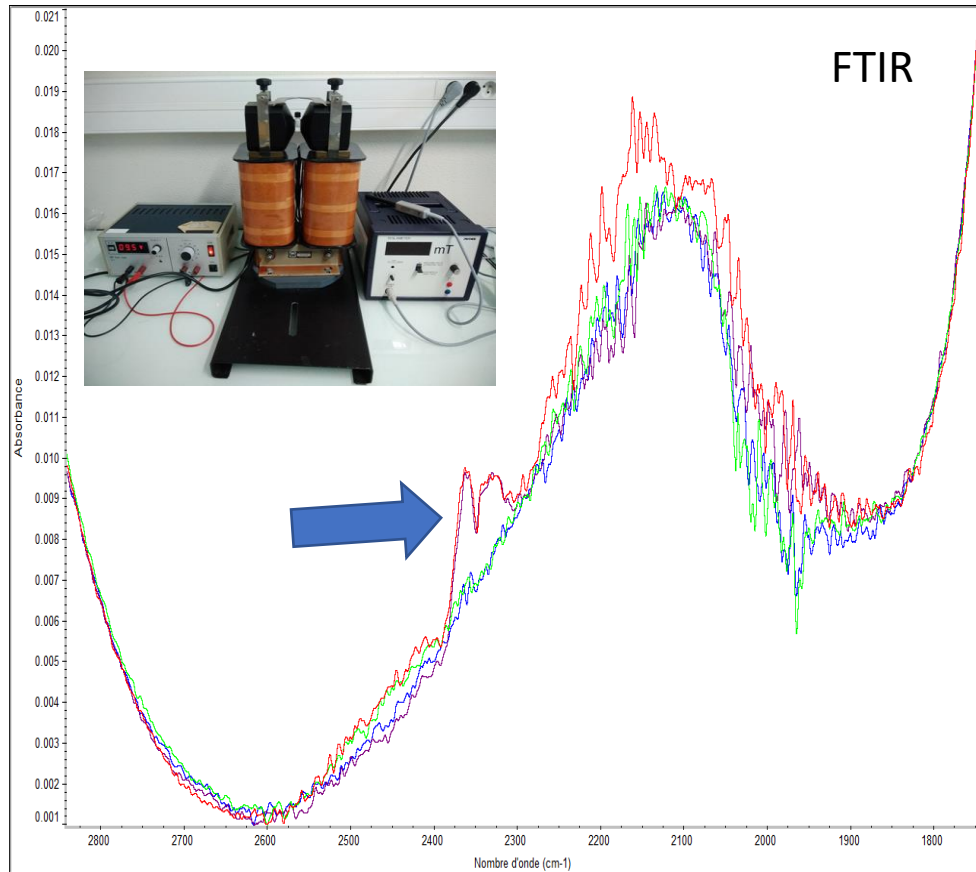
BIENVENUE AU SEMINAIRE HALO2Mer !

- Jean et Frédérique Thoby, musiniéristes (40)
- Hugues de la Bardonnie, électrophotonique (31)
- Anne Caldéronie, œnologue (33)
- Pascal Le Palud et Emmanuel Boutet, Elementerre (56)
- Fabienne Raoul, ingénieur-énergéticienne (56)
- Pascale Miniou, médecin naturo (29)

DE L'EAU JAILLIT LA LUMIERE...

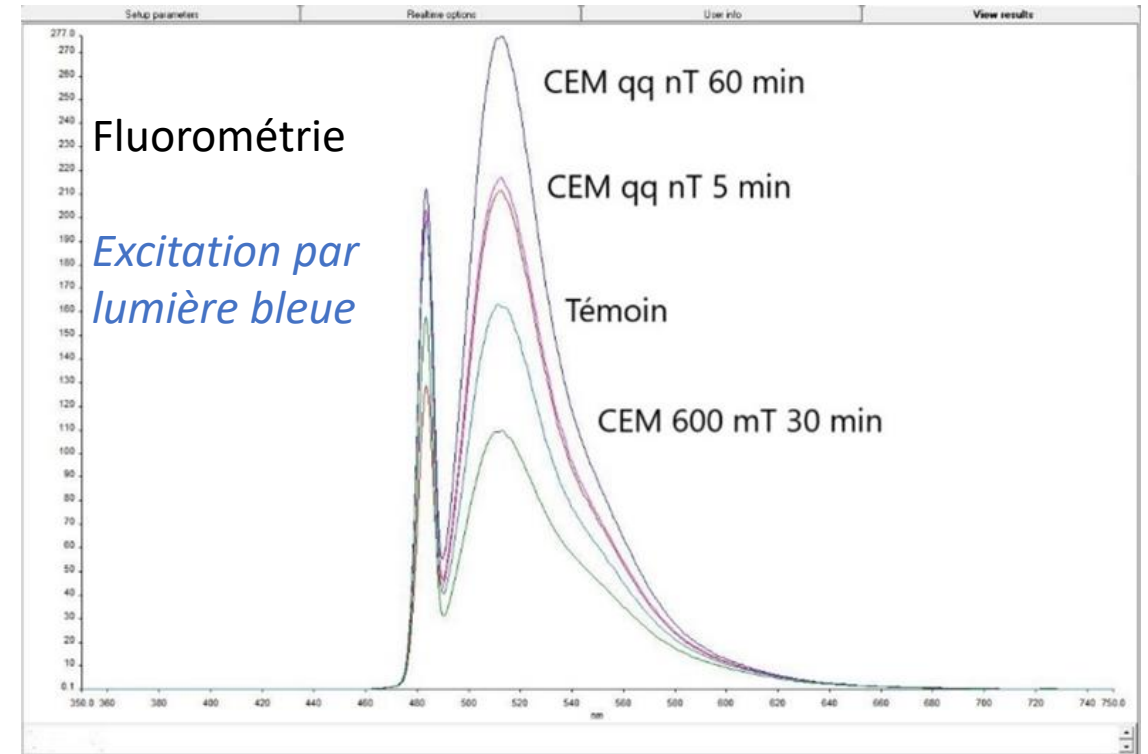
AU DEBUT...

eau non magnétisée (courbes verte et bleue) ; eau magnétisée (courbes rouge et violet) => Double pic 2300-2400 cm⁻¹ en IR = Apparition de **Nanobulles CO₂**



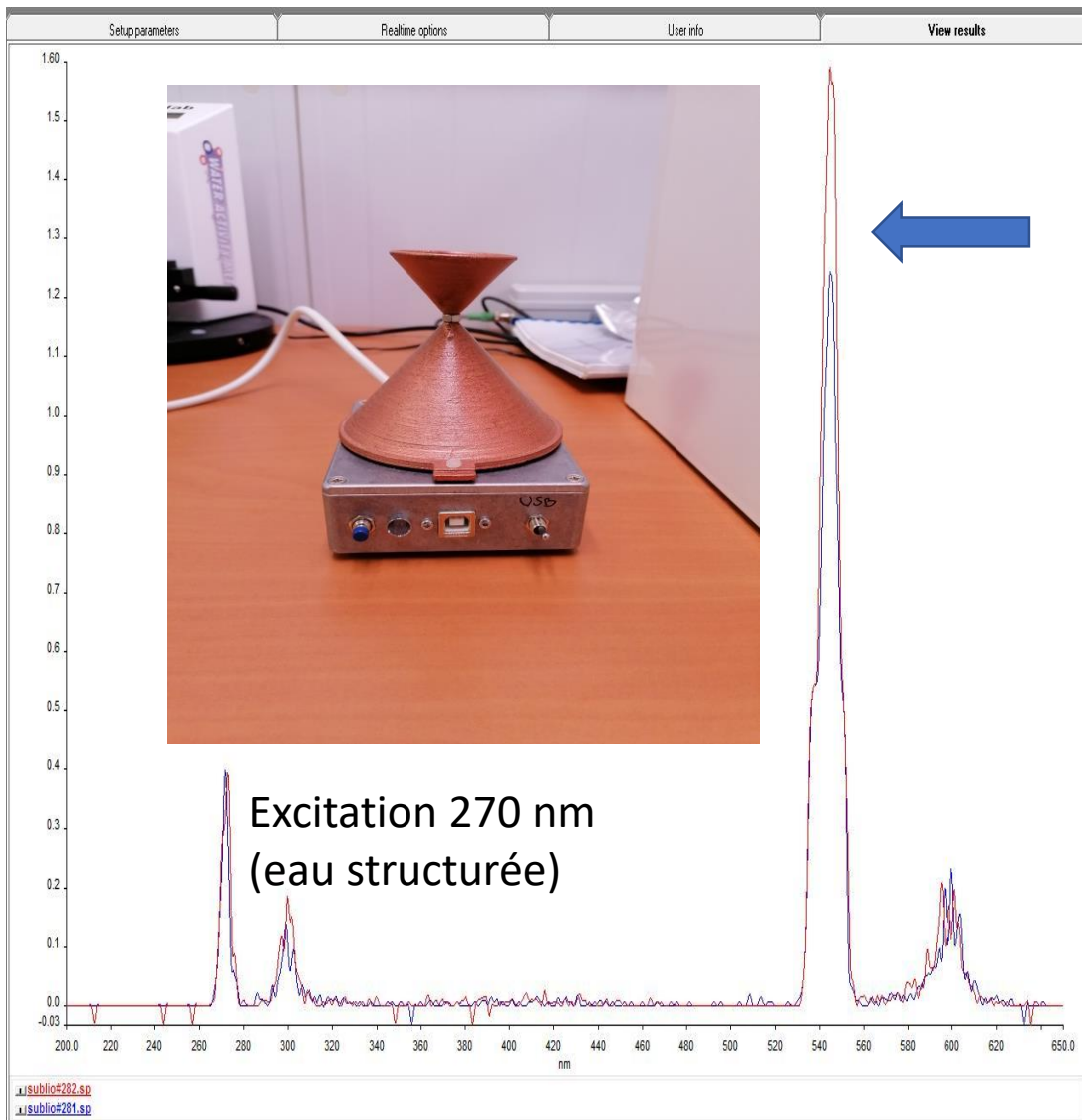
ON PROGRESSE...

Un CEM de l'ordre du nanotesla a un effet bénéfique sur l'intensité d'émission du fluorochrome alors qu'un CEM plus puissant (600 millitesla) semble avoir un effet défavorable.



Le pigment émet jusqu'à 90% de lumière blanche en plus après le CEM appliqué pendant 1 heure

AUJOURD'HUI... L'EAU SEULE PEUT PRODUIRE DE LA LUMIERE PAR UNE REACTION INITIEE PAR L'ENERGIE D'UN CEM

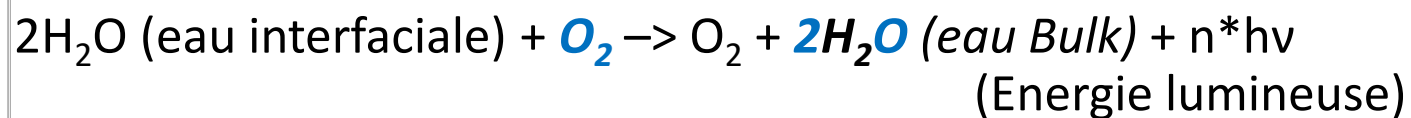


EXPLICATIONS DU MECANISME



*Espèces Réactives Oxygène : rôle bioénergétique et informationnel (Pr Voeikov)

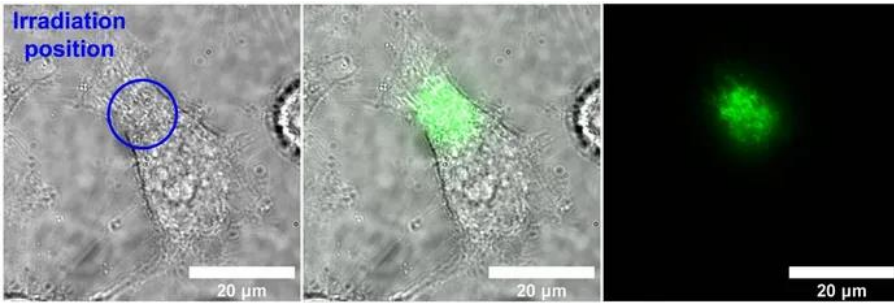
- Cela signifie que le système aqueux transforme de l'énergie de basse densité (chaleur, champ électromagnétique...) en énergie de haute densité (lumière) :



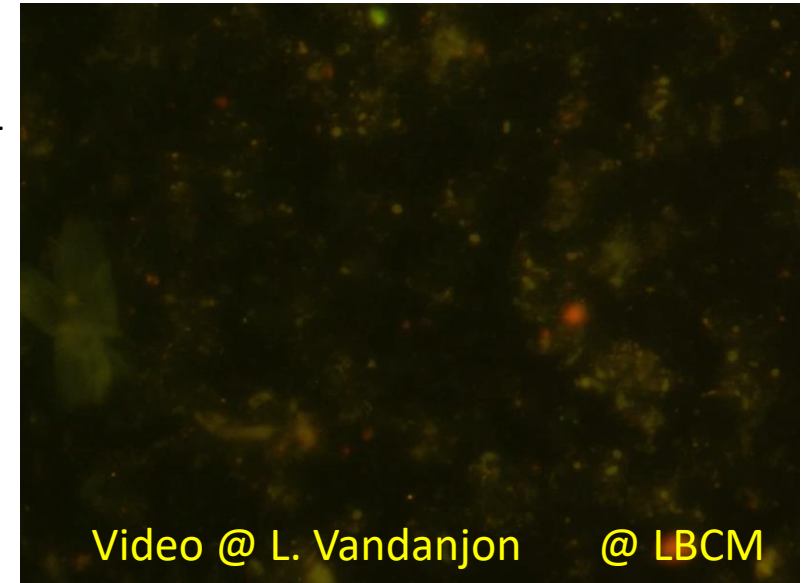
- Cette réaction d'oxydation de l'eau est catalysée par les carbonates (en équilibre avec le CO_2 selon l'équilibre calco-carbonique).

Spectre de fluorescence de l'eau enrichie en carbonates et oxygène avant (courbe bleue) et après (courbe rouge) magnétisation => **émission de lumière** à 540 nm

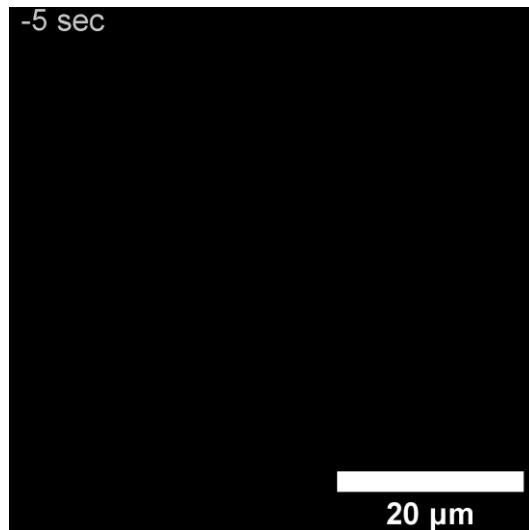
Eau et communication cellulaire par biophotons



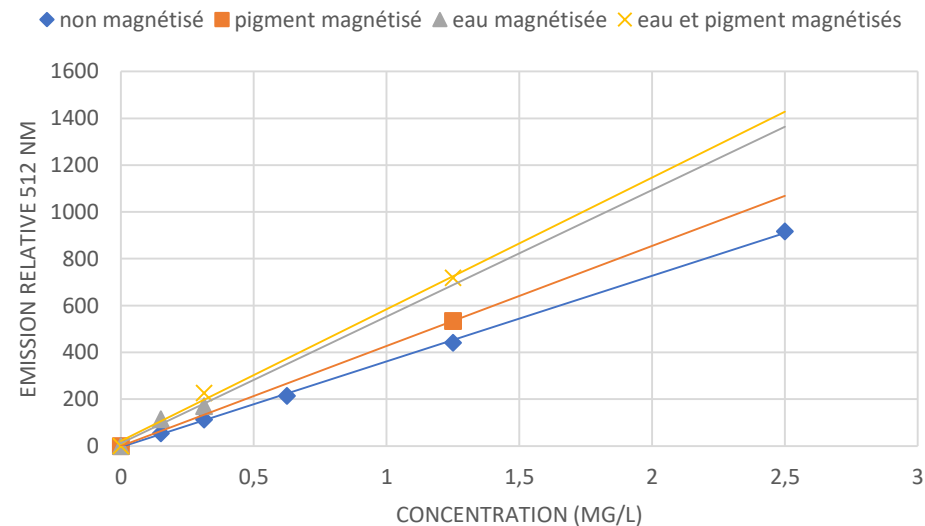
EM + fluorochrome +
CEM + lumière bleue



Publication dans le journal « Nature » en 2021 :
cryptochromes permettent transfert d'info par la lumière



Cellules Hela + cryptochrome + CEM + lumière bleue



Fluorochrome (non magnétisé) émet plus de lumière dans une eau magnétisée.

C'EST L'EAU STRUCTUREE QUI AMPLIFIE L'EMISSION DE LUMIERE PAR LE PIGMENT

Interprétation

Dans l'eau structurée (magnétisée), le transfert des protons (et des électrons) s'effectue par le mécanisme de Von Grothuss, mis en évidence expérimentalement dans la thèse de Coudert*. Ces courants protoniques ont un rôle dans la transduction de l'énergie le long des chaînes métaboliques et ont donc un rôle dans la **signalisation cellulaire**.

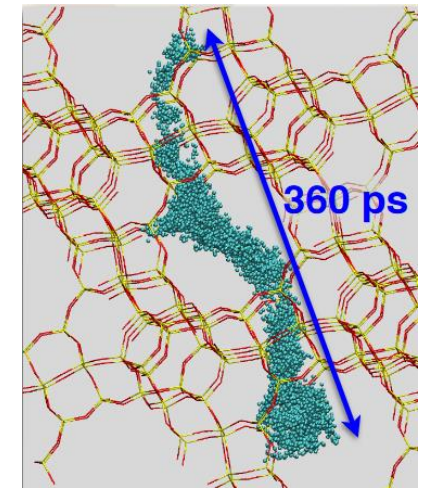
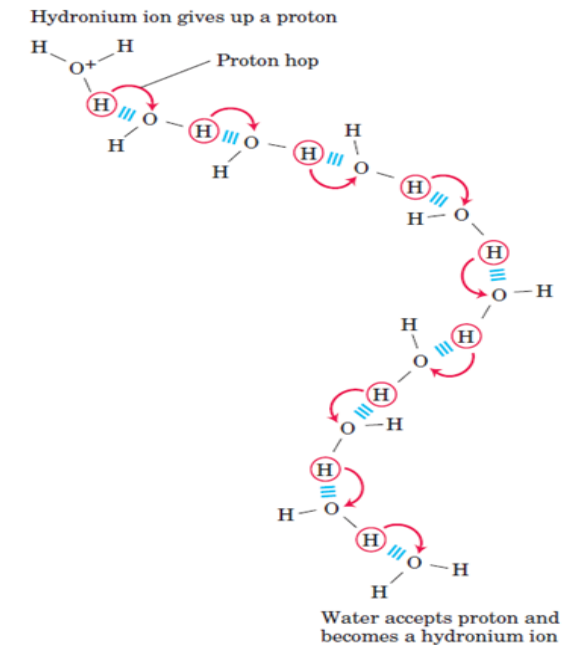
Ces courants protoniques permettent d'initier des réactions en chaîne d'oxydation du pigment (thèse Arthaut, 2018**) productrices d'espèces réactives de l'oxygène et d'énergie. Une partie de cette énergie libérée participe à l'augmentation de l'**émission de lumière** par le pigment en solution aqueuse.

Une eau enrichie en carbonates et oxygène permet l'émission de lumière sans la présence du pigment (donc nous confirmons les travaux du Pr Voeikov)

Remarque importante : cette étude a montré l'influence des champs électromagnétiques sur l'eau et sur le pigment. Cela ne présage en rien des effets potentiels (positifs ou négatifs) sur la santé. Nous rappelons qu'il faut rester très prudent dans l'usage de ce type d'ondes et des fréquences associées.

* François-Xavier Coudert. L'eau et l'électron hydraté en milieu confiné. Thèse Univ. Paris Sud, 2007

**Louis-David Arthaut. Effets de la lumière bleue et du champ magnétique sur la synthèse des ROS par le cryptochrome. Thèse Université Sorbonne, 2018



Trajectoire de l'électron dans l'eau structurée (Thèse Coudert, 2007)

Caractérisation de l'eau structurée par imagerie microscopique

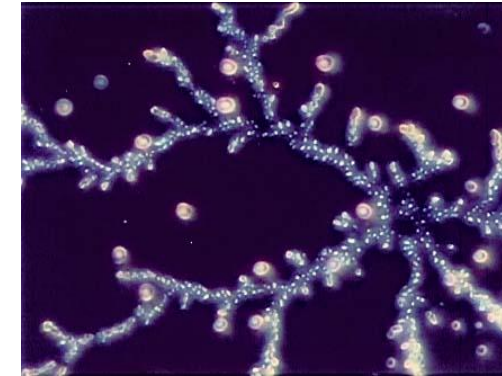
Pr David Schweitzer
4000x
Excitation 820 nm

*Voir aussi images de
cristallisation sensible
(M.F. Tesson, Cristaux sensibles,
2000, Ed. du Fraysse)*



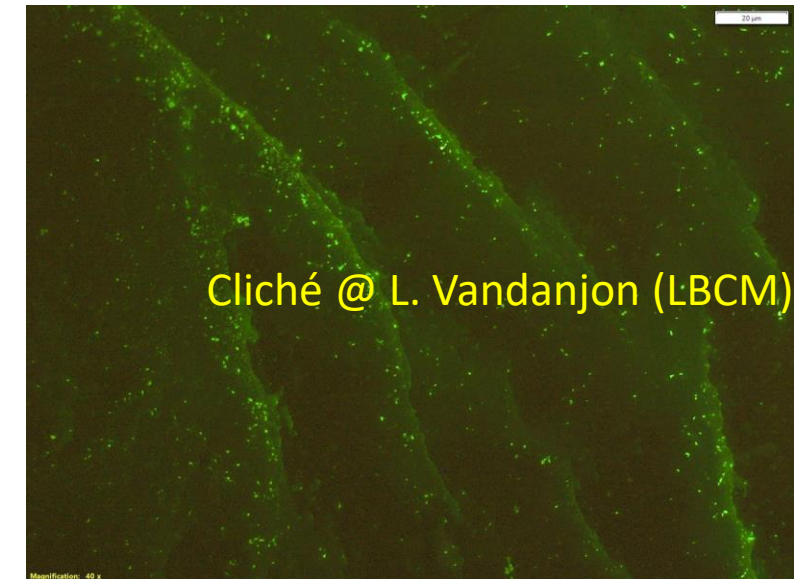
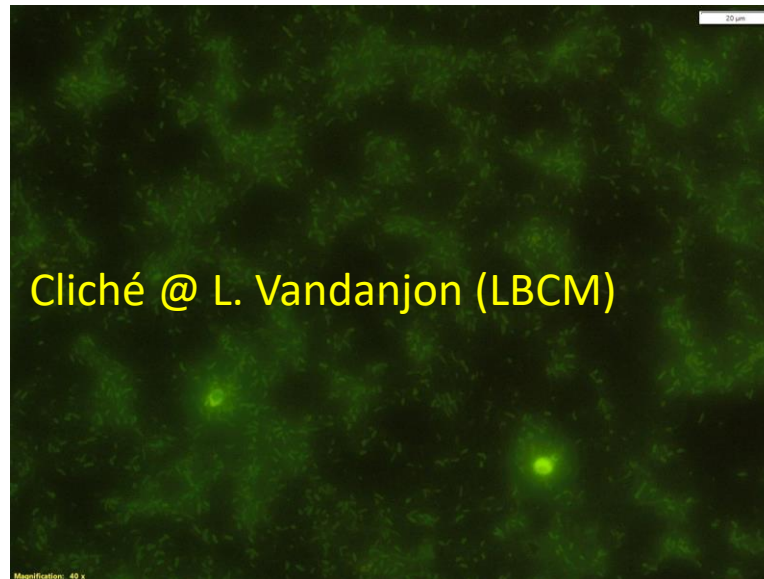
Avant structuration

Observation en
microscopie à
fluorescence d'eau +
fluorochrome avant et
après structuration
par CEM



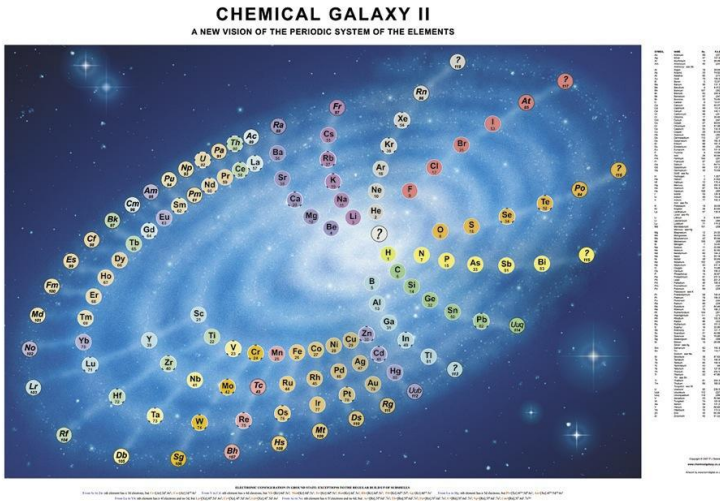
Après structuration

Laurent Vandanjon
Fluorochrome 400x
Excitation 485 nm
Filtre polarisant
Microscope Epifluorescence
Olympus BX43

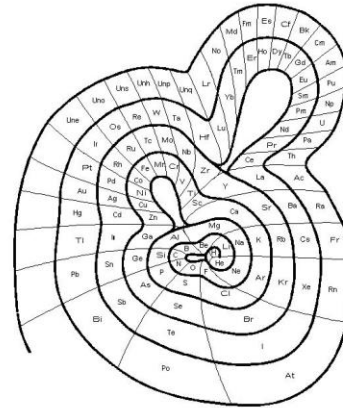


EAU STRUCTUREE, COLLOIDES ET ELECTROPHOTONIQUE

Une nouvelle vision du tableau périodique de Mendeleïev



Periodic Fractal of the Elements



© 1993 Malinda Green malinda@optonline.com

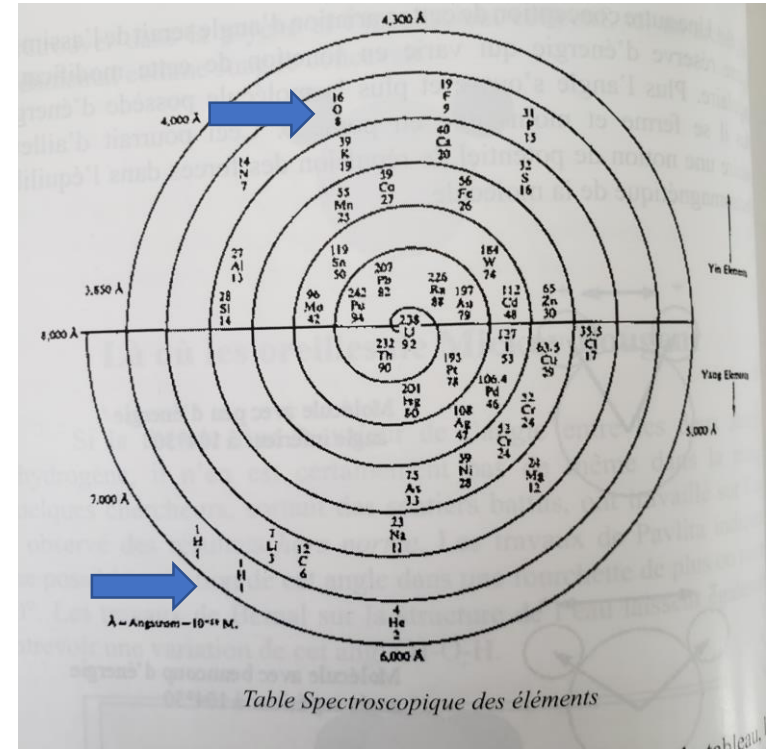
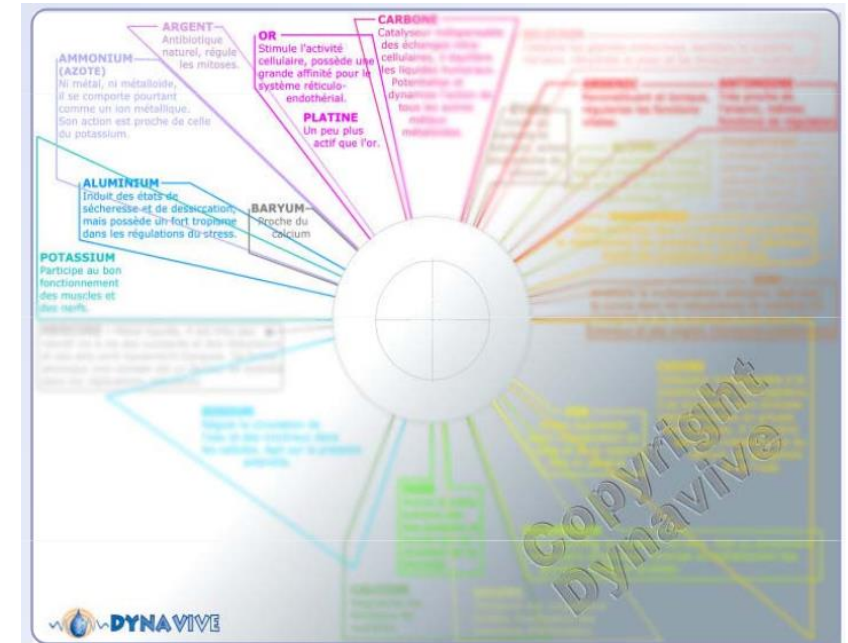


Table Spectroscopique des éléments

Plus les corps sont opposés dans la **table spectroscopique**, plus ils ont tendance à se compléter et à s'associer naturellement.

H est un corps Diamagnétique (Yang) qui tend à repousser le champ magnétique.
O est un corps Paramagnétique (Yin) qui tend à s'aligner sur le champ magnétique.

On peut penser qu'il en est de même pour tous les éléments du tableau qui généreraient des streamers avec des positions caractéristiques selon l'ambiance électromagnétique à laquelle ils sont soumis

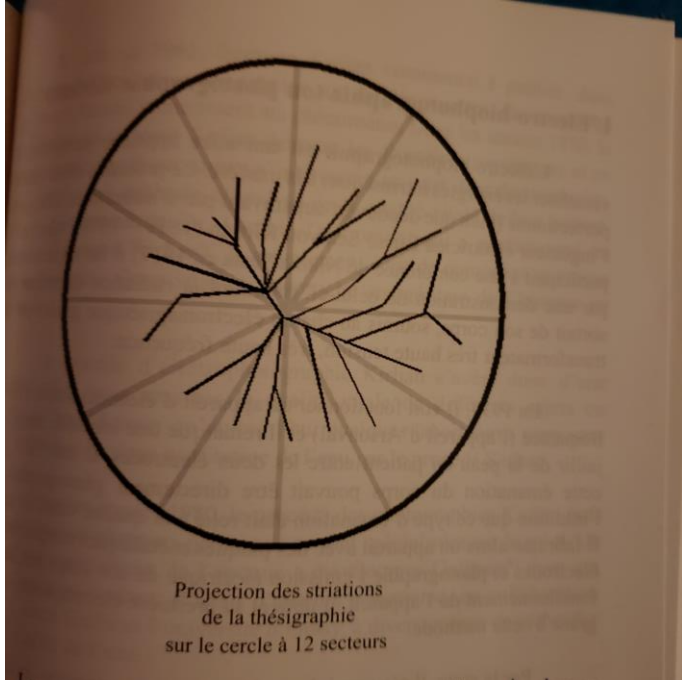


CRISTALLISATION SENSIBLE :

A l'échelle vibratoire, tout corps peut-être caractérisé par 3 critères qualitatifs et quantitatifs D-N-A :

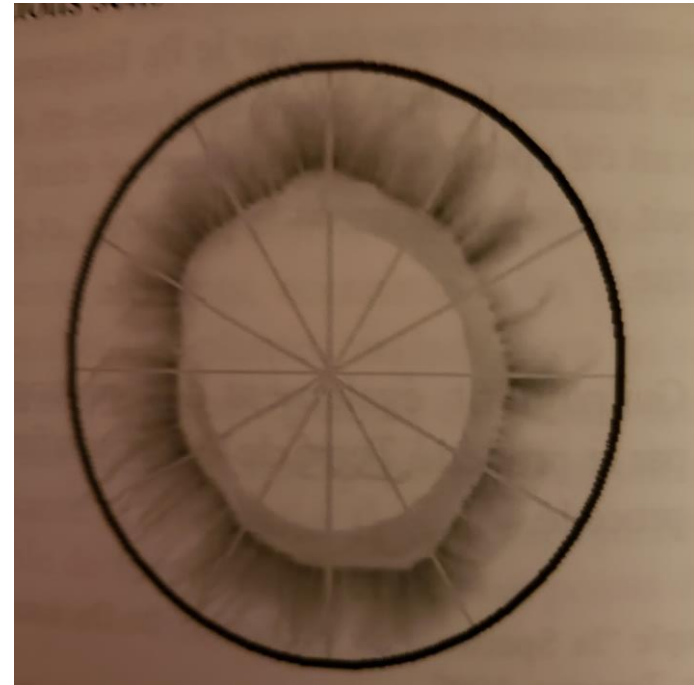
- Directions de vibration D
- Fréquences de vibration N
- Amplitudes de vibration A

Les Directions de vibrations sont au nombre de 12 également réparties dans l'espace suivant des secteurs de 30° (Etienne Guillé, Faculté d'Orsay)



ELECTRO-BIOPHOTOGRAPHIE :

Georges Guilpain a élargi le concept DNA en plaçant la projection du rayonnement dans un cercle à 12 secteurs.

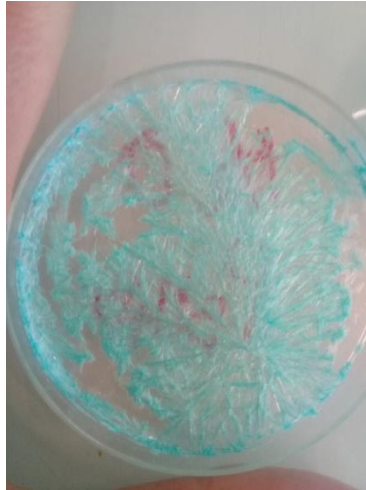


Sources : Etienne Guillé, Alchimie de la vie

Georges Guilpain, Initiation à l'effet Kirlian

Mise en évidence des effets de la magnétisation de l'eau par cristallisation

Cristallisation sensible (CuCl₂)



Eau pure

Eau pure magnétisée

Cristaux de glace



Eau pure (loupe)

Eau pure magnétisée (loupe)



Eau pure (x 40)



Eau pure magnétisée (x 40)

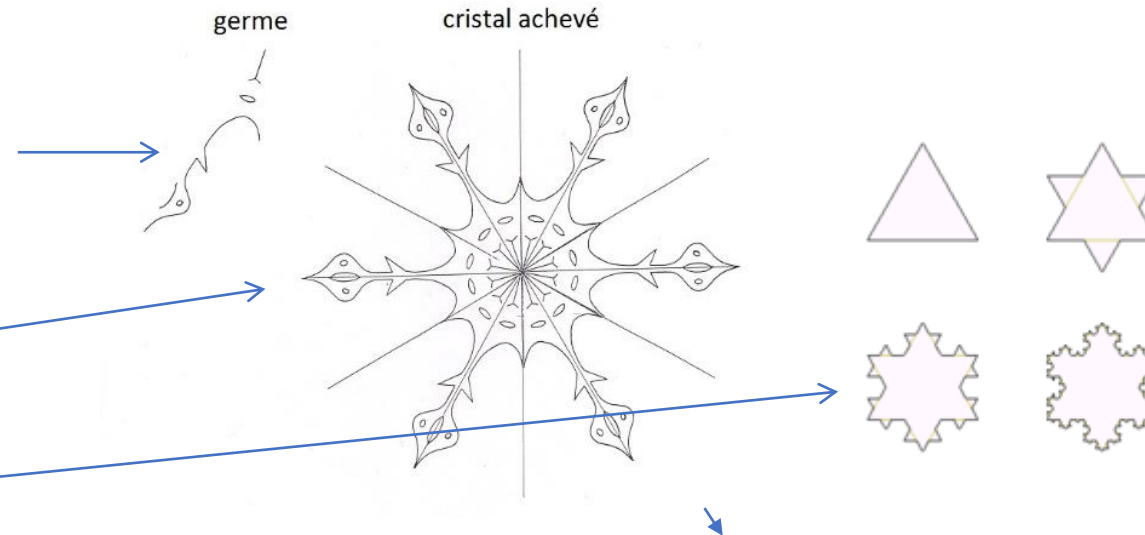
Comment se forment les cristaux ?

+ Théorie du chaos (sensibilité aux conditions initiales)

Germe = colloïde, nanobulle, cluster d'eau...

+ Théorie de la symétrie

+ Théorie de la géométrie fractale

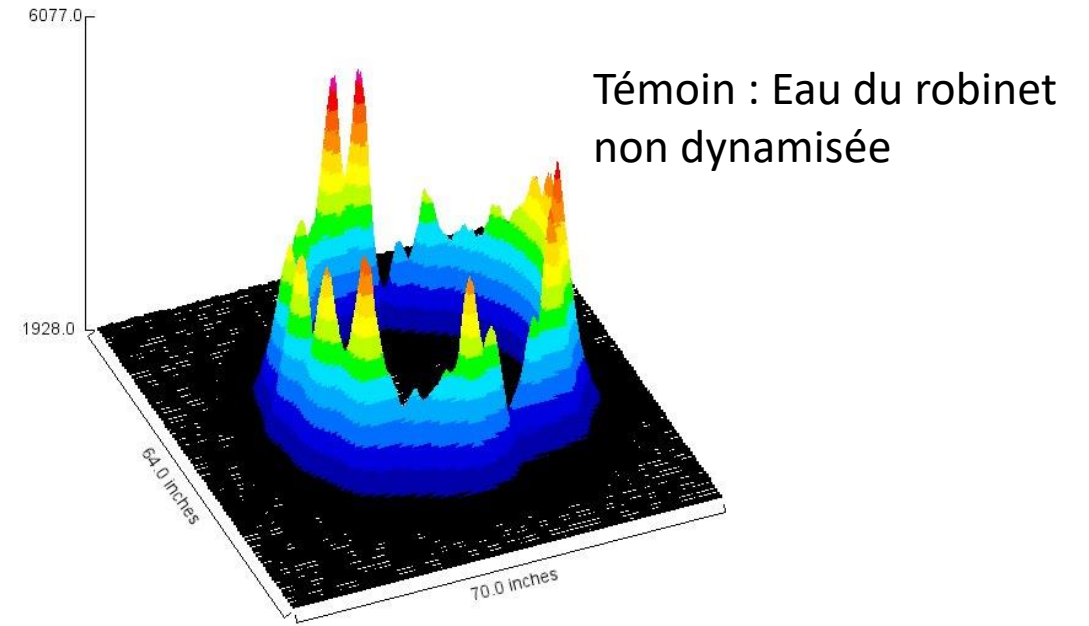


Hypothèse:

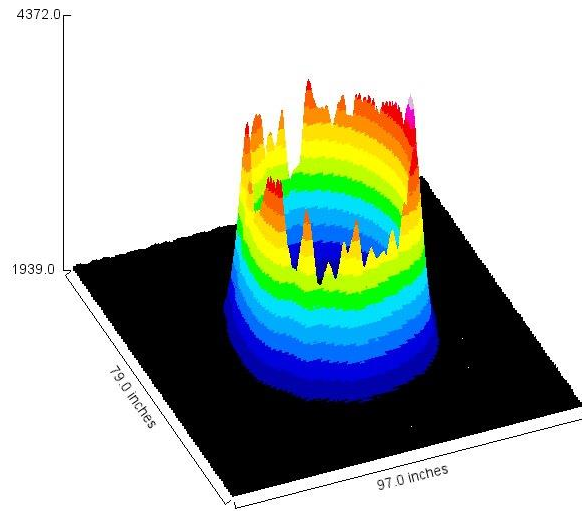
Une eau plus structurée (donc contenant plus d'information) pourrait produire des cristaux de forme plus élaborée

Influence des métaux de transition* à l'état colloïdal sur les photos de gouttes d'eau (procédé dynamisation Marcel Violet)

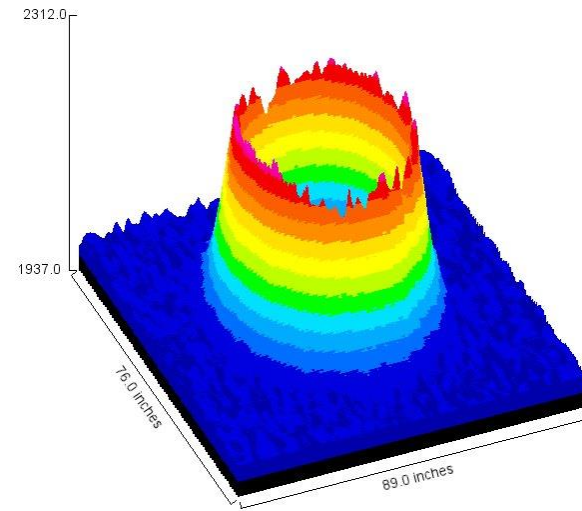
* Ont la propriété de se fixer aux bases de l'ADN



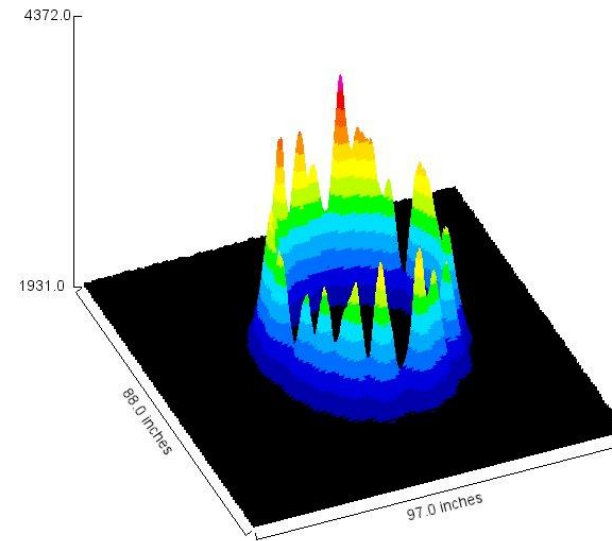
Après dynamisation avec différentes électrodes :



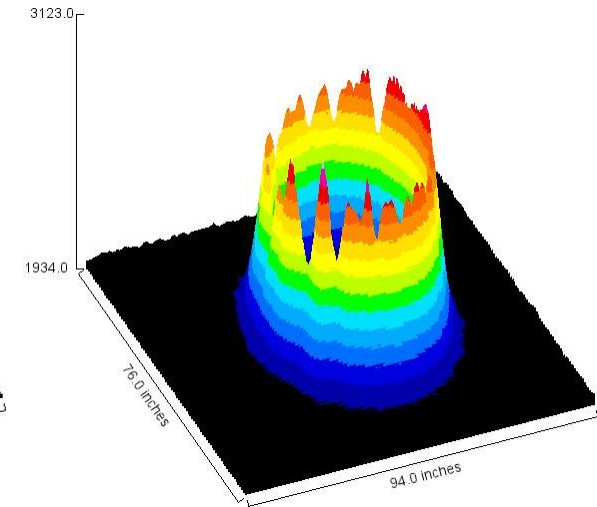
Cobalt



Cuivre



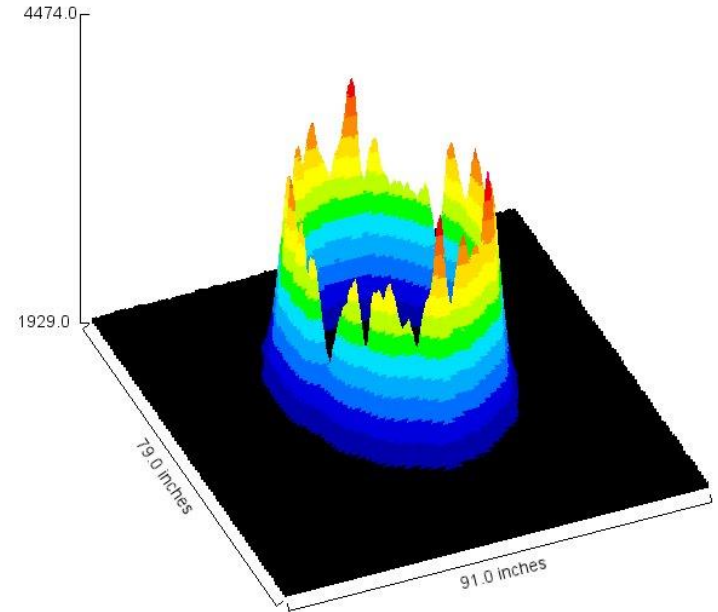
Magnésium



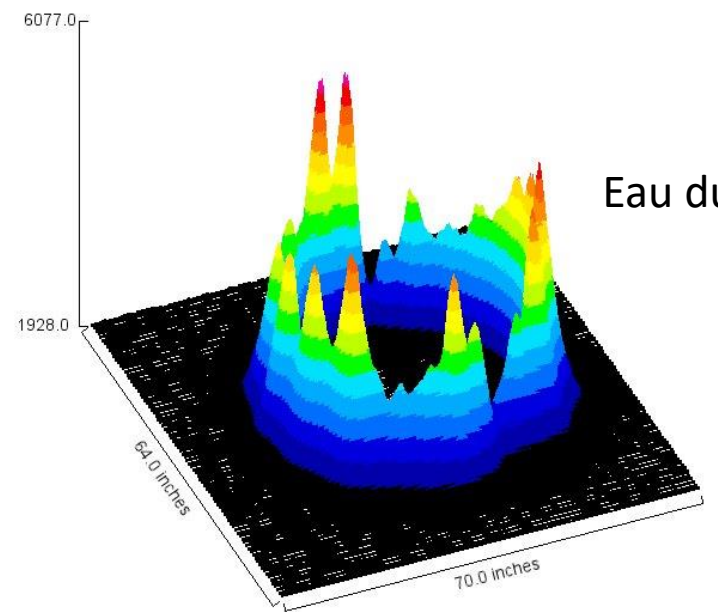
Or/Argent

Ponts photoniques

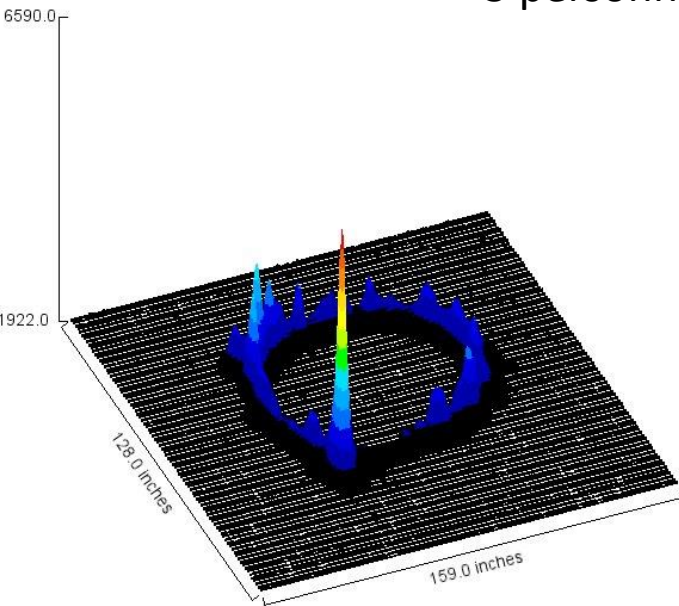
Eau de source
forêt de Camors



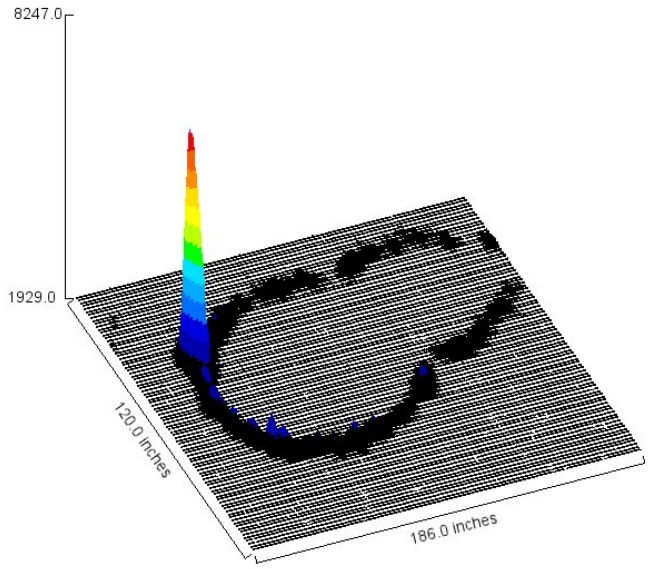
Eau du robinet



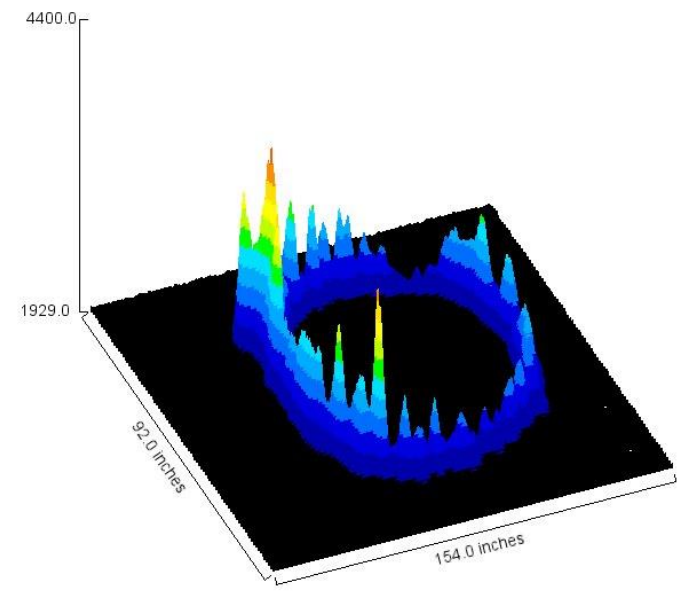
3 personnes, 3 résultats différents... mais répétables



Laurent : Camors



Marie : Robinet

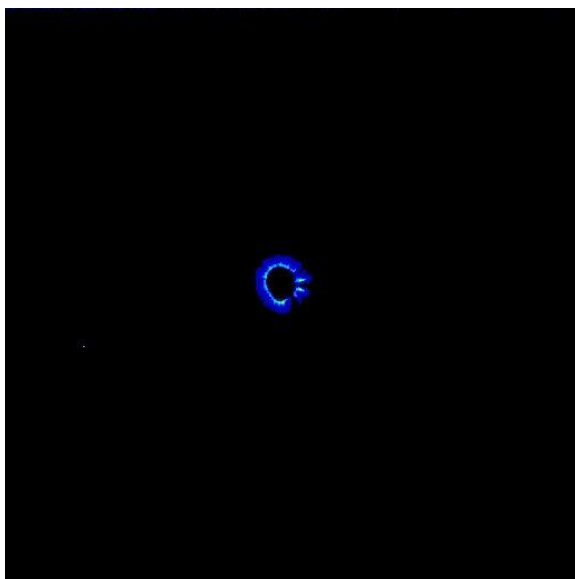


Maurice : Camors/Robinet

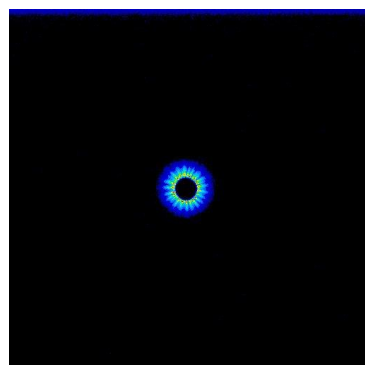
Application de l'IMEC à la caractérisation d'eaux radioactives naturelles

Projet Subatech CNRS Nantes
Essais préliminaires sur des Sources d'Auvergne
(LBCM en partenariat avec G. Montavon, N. Michel et F. Raoul)

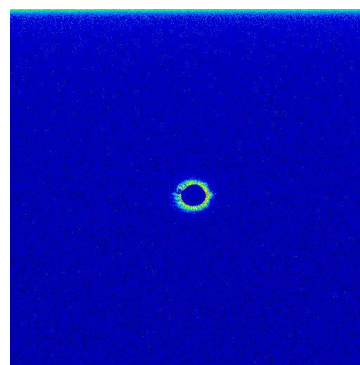
1 : Eau milliQ HNO₃+Ra 10,5 Bq



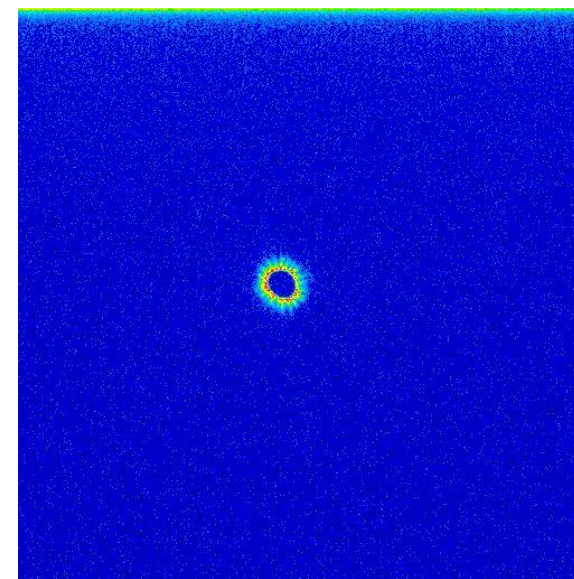
2 Ste Marguerite



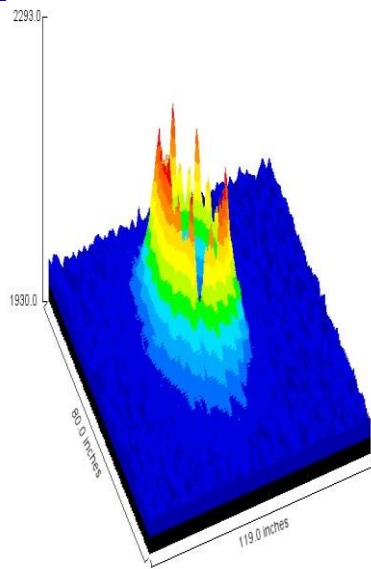
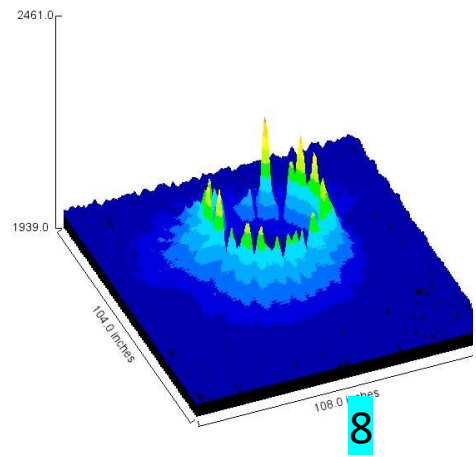
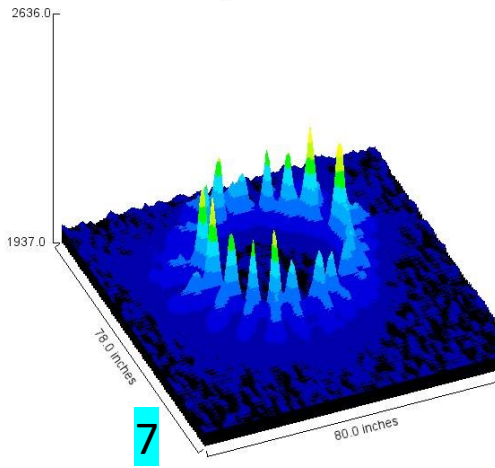
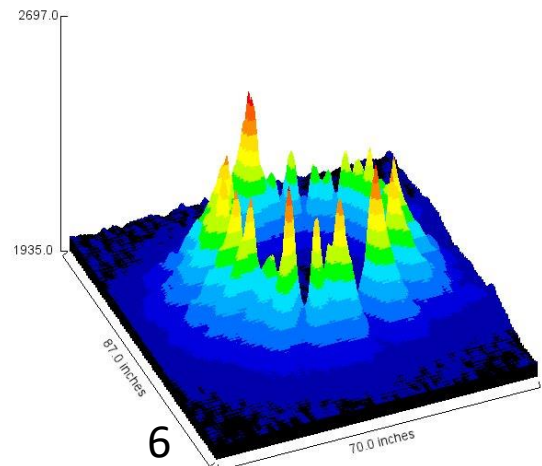
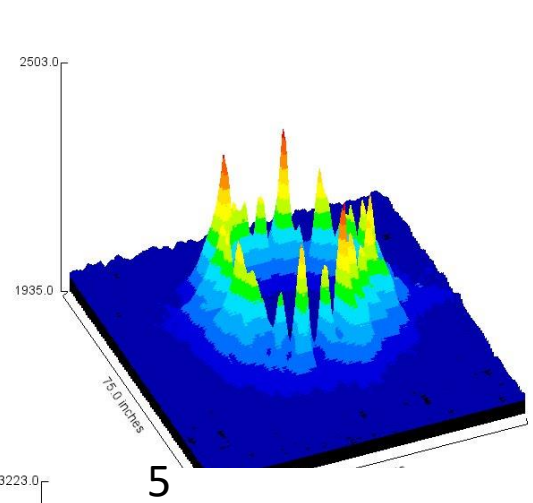
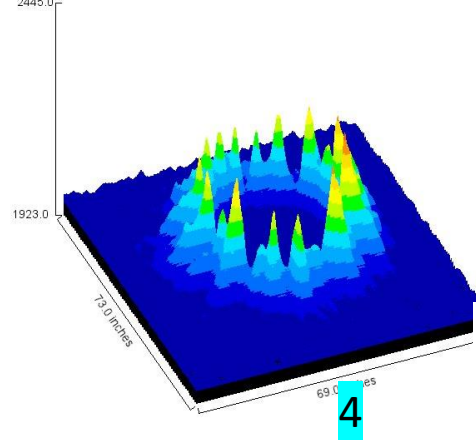
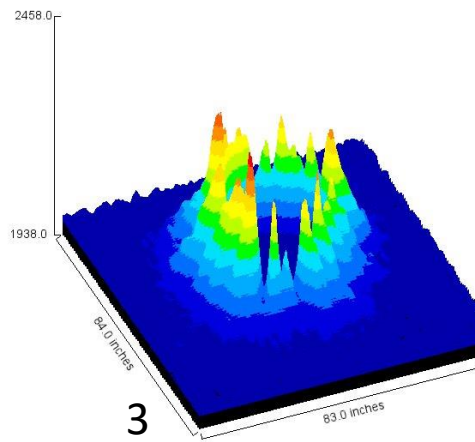
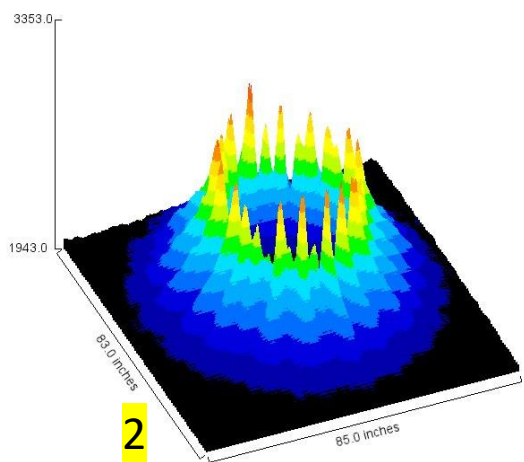
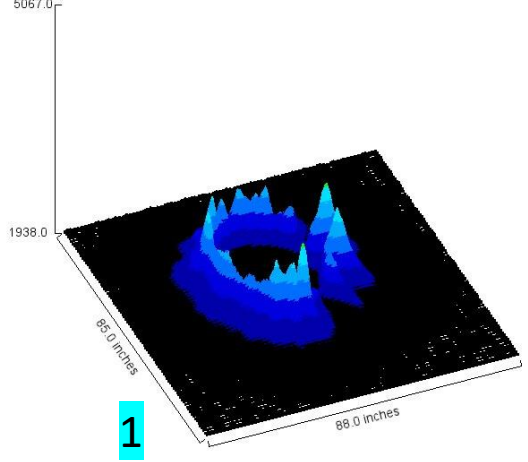
12



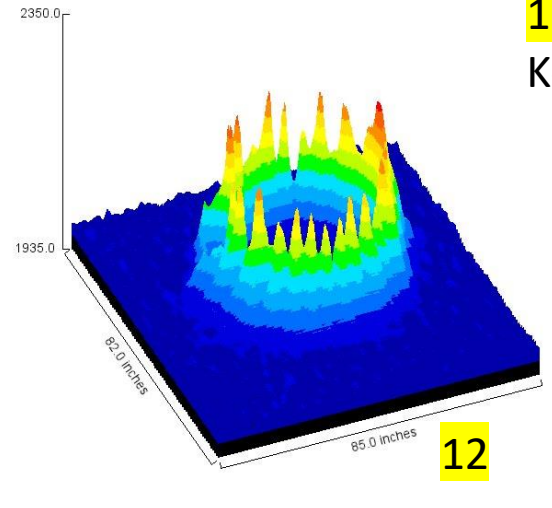
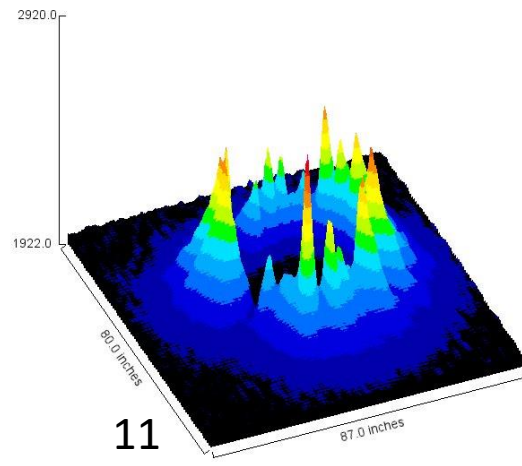
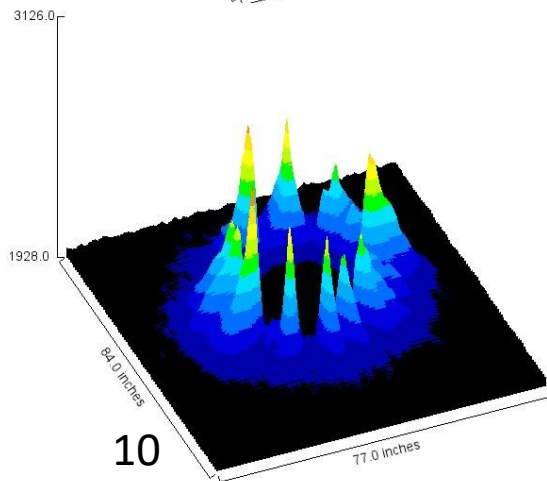
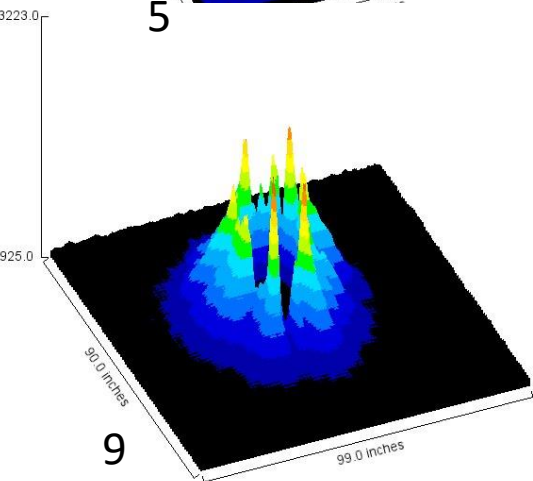
13 : Eau de Kerizinen (Strontium)



4 milliQ; 5 milliQ HTO 234 Bq; 7 milliQ HNO₃; 1 milliQ HNO₃+Ra 10,5 Bq; 10 source Pedras; 12 source Ste Marguerite
2 Ste Marguerite tennis; 11 Ste Marguerite canal; 3 Joze ours; 6 Joze daguillon; 9 Joze graviers; 8 Source Saladis
13 Kerizinen (Finistère)



Kerizinen



Recherche d'indices caractéristiques

$$L2 = \sqrt{\sum_{i=1}^N \sum_{j=1}^N f(i,j)^2}$$

Photodiversité : indice de biodiversité de Simpson adapté à une image

Eau	Richesse	Entropie Shannon	Biodiversité Simpson	Normalisation L2	Photodiversité Henry
1	718	9.87	0.63	1769735	2235
2	806	10.28	0.63	1874911	2272
3	425	9.79	0.62	1362224	1990
4	361	9.99	0.62	1255735	1987
5	338	9.95	0.61	1215188	1992
6	474	10.07	0.62	1438436	1992
7	259	9.92	0.61	1064218	1983
8	338	9.79	0.61	1215188	1984
9	584	9.87	0.61	1596327	1990
10	496	9.78	0.61	1471370	1985
11	531	9.98	0.61	1522298	1985
12	277	9.77	0.60	1100439	1982

ENTROPIE : $H(\mathbf{p}_s) = \sum_s p_s I(p_s)$.

Mesure le
« désordre »
de l'image

Entropie généralisée : ${}^q H(\mathbf{p}_s) = \frac{1}{q-1} \left(1 - \sum_{s=1}^S p_s^q \right)$

Si $q = 0$: L'entropie est la richesse (nombre d'intensités différentes)

Si $q = 1$: L'entropie est celle de Shannon ${}^q H(\mathbf{p}_s) = \sum_s p_s \ln_q(1/p_s)$

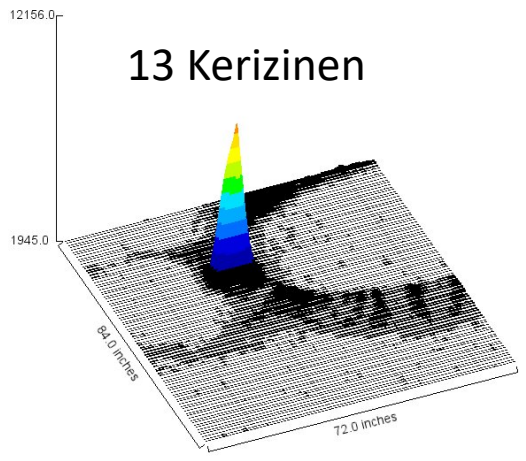
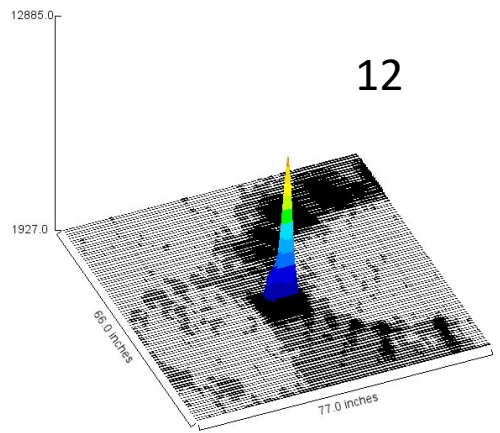
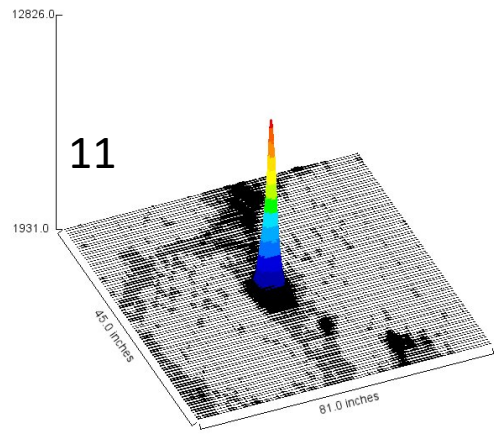
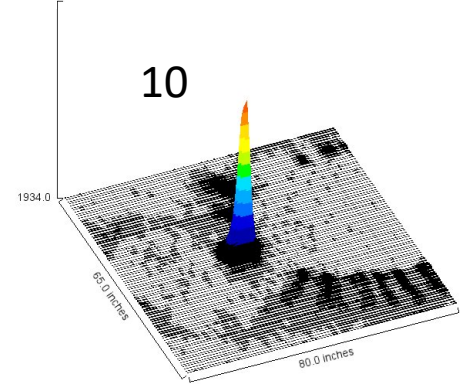
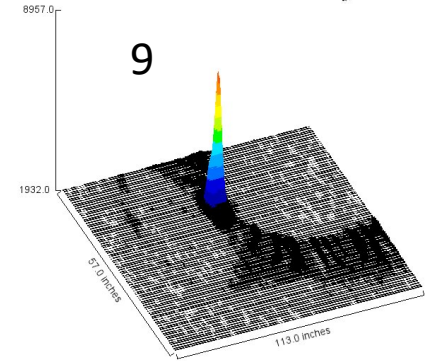
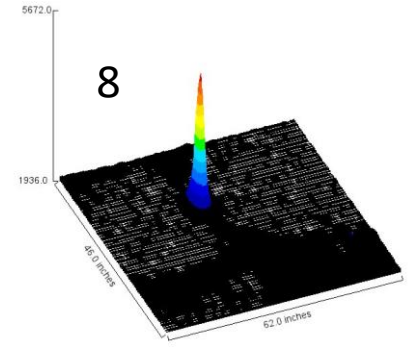
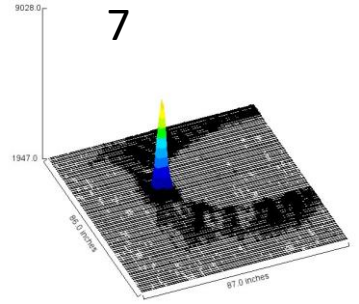
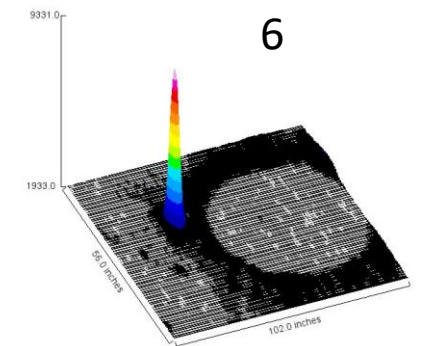
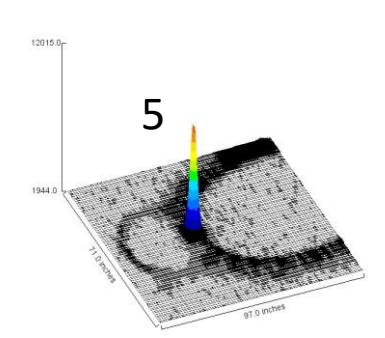
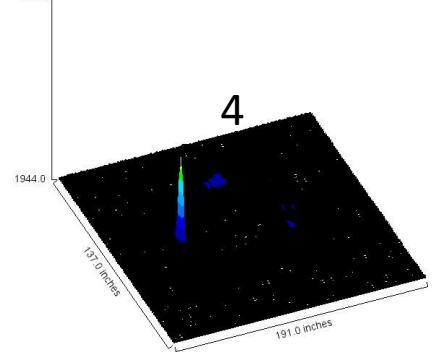
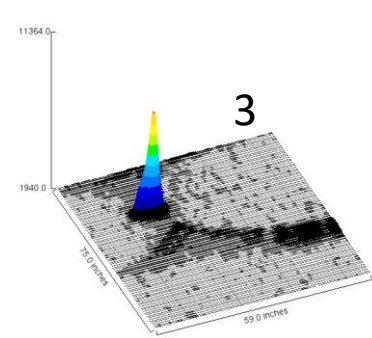
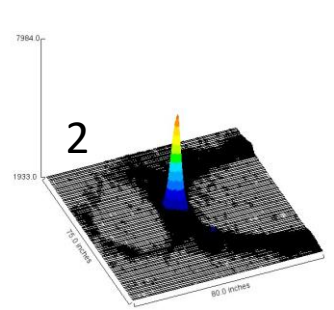
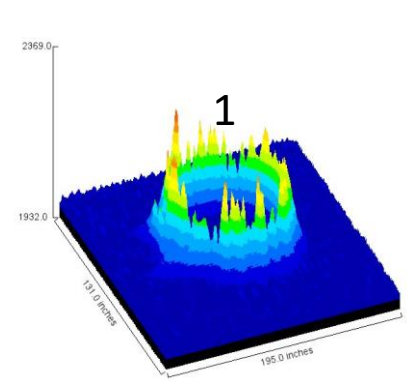
Si $q = 2$: L'entropie est l'indice de biodiversité de Simpson

Richesse					
Eau	Série 1	Série 2	Série 3	Moyenne	
1	718	209	267	398	
2	806	260	220	428,6666667	
3	425	345	209	326,3333333	
4	361	215	356	310,6666667	
5	338	446	340	374,6666667	
6	474	213	388	358,3333333	
7	259	211	301	257	
8	338	340	296	324,6666667	
9	584	241	336	387	
10	496	235	209	313,3333333	
11	531	212	207	316,6666667	
12	277	212	310	266,3333333	
13	297	210	212	239,6666667	

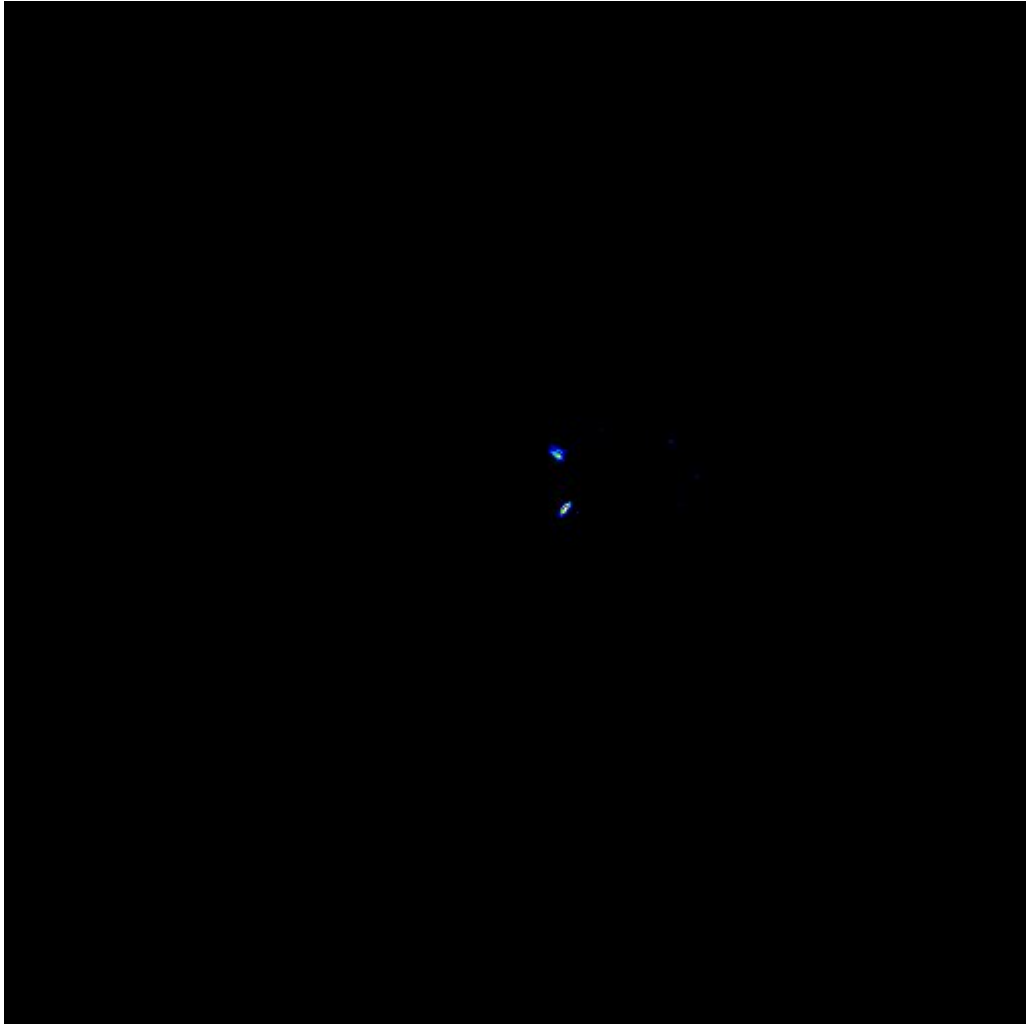
Entropie de Shannon					
Eau	Série 1	Série 2	Série 3	Moyenne	
1	9,87	9,75	9,79	9,803333333	
2	10,28	9,84	9,83	9,983333333	
3	9,79	9,75	9,52	9,686666667	
4	9,99	9,69	9,67	9,783333333	
5	9,95	9,93	9,95	9,943333333	
6	10,07	9,74	9,97	9,926666667	
7	9,92	9,6	9,94	9,82	
8	9,79	9,99	10,02	9,933333333	
9	9,87	9,74	9,84	9,816666667	
10	9,78	9,84	9,83	9,816666667	
11	9,98	9,74	9,83	9,85	
12	9,77	9,76	10,02	9,85	
13	9,81	9,65	9,66	9,706666667	

Indice de biodiversité de Simpson					
Eau	Série 1	Série 2	Série 3	Moyenne	
1	0,63	0,62	0,62	0,623333333	
2	0,63	0,63	0,62	0,626666667	
3	0,62	0,63	0,62	0,623333333	
4	0,62	0,62	0,62	0,62	
5	0,61	0,63	0,62	0,62	
6	0,62	0,63	0,62	0,623333333	
7	0,61	0,62	0,62	0,616666667	
8	0,61	0,63	0,62	0,62	
9	0,61	0,62	0,62	0,616666667	
10	0,61	0,62	0,61	0,613333333	
11	0,61	0,62	0,61	0,613333333	
12	0,6	0,62	0,61	0,61	
13	0,61	0,61	0,61	0,61	

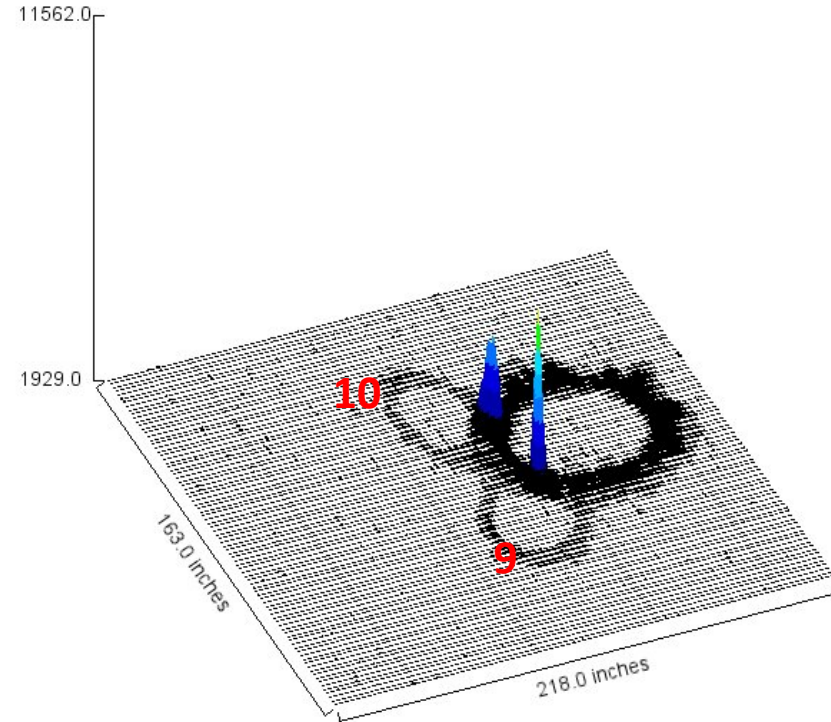
L2-norm					
Eau	Série 1	Série 2	Série 3	Moyenne	
1	1769735	956431	1080467	1268877,667	
2	1874911	1066263	981161	1307445	
3	1362224	1227671	956431	1182108,667	
4	1255735	969998	1247033	1157588,667	
5	1215188	1395397	1218768	1276451	
6	1438436	965497	1301723	1235218,667	
7	1064218	960975	1146958	1057383,667	
8	1215188	1218768	1137423	1190459,667	
9	1596327	1026719	1211599	1278215	
10	1471370	1013911	956431	1147237,333	
11	1522298	963238	951866	1145800,667	
12	1100493	963238	1163923	1075884,667	
13	1139337	958705	963238	1020426,667	



Ponts
photoniques



Doubles Ponts photoniques pour les eaux de Joze Graviers (9) et source Pedras (10)



Prolongement de l'étude (en cours):

Caractérisation des eaux radioactives naturelles par Bioélectronique Vincent (pH, résistivité, potentiel redox, rH₂, μ W)

Bioélectronique Vincent

	pH	E (mV)	rH2
1	4,16	329	26.58
2	6,86	236	28.84
3	6.56	237	28.26
4	8.72	217	31.91
5	3.81	259	23.61
6	6.50	256	28.88
7	7.60	240	30.52
8	7.23	211	28.78
9	6.77	213	27.90
10	8.01	193	29.72
11	6.98	181	27.25
12	6.20	187	25.88
Kerizinen (4/8/21)	6.42	162	25.10
Lourdes (B)	7.68	166	28.15

Eau « parfaite » : $5.5 < \text{pH} < 6.8$ et $25 < \text{rH}_2 < 28$: 12 (Ste Marguerite Bouteille) et Kerizinen

Mesures réalisées le 13/12/21

Des résultats nouveaux en électrophotonique

Pont photonique Kerizinen/Lourdes

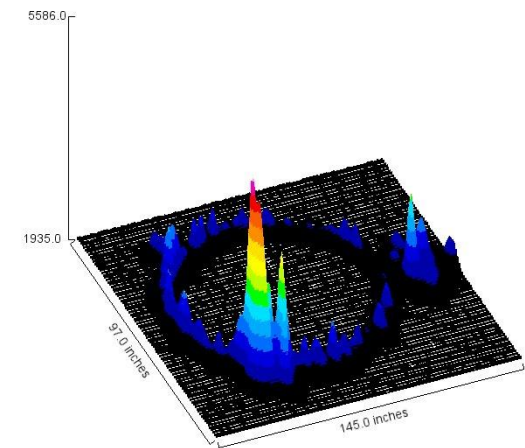
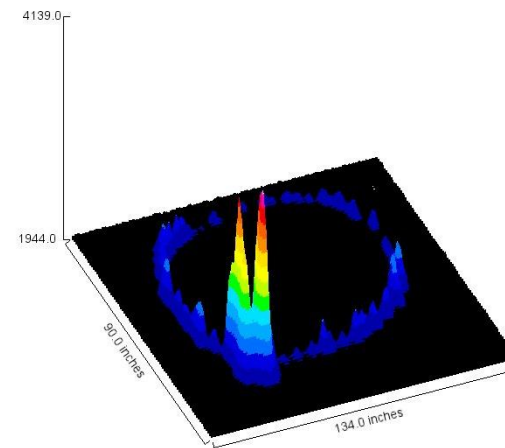
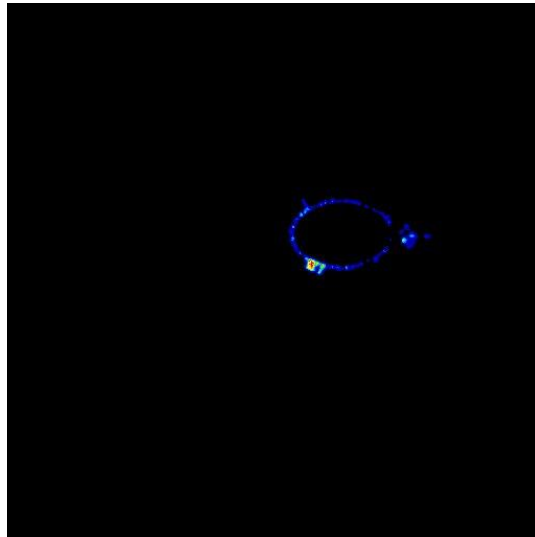
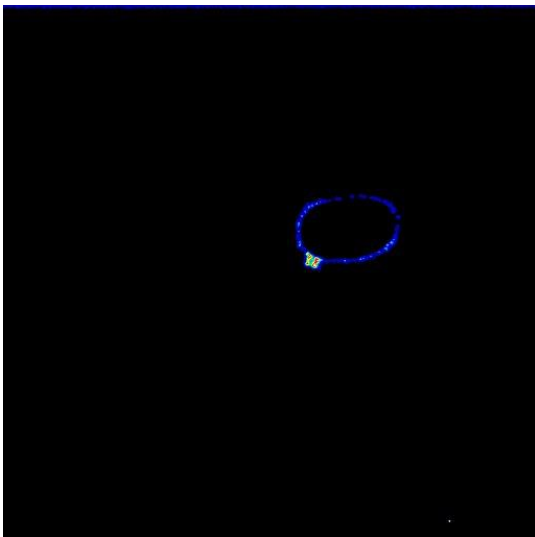
Testeurs : Laurent (gauche) et Gaëtan (droite)



L'eau miraculeuse de Lourdes est une eau captée et traitée...

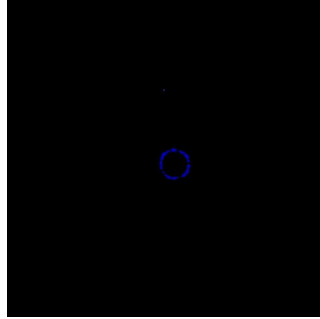
Article compilé et publié par
Dominique Emery (Géobiologue)
Association Ondes et Habitat
Décembre 2021

(Sources : BRGM, Patrimoines Lourdes
Gavarnie)

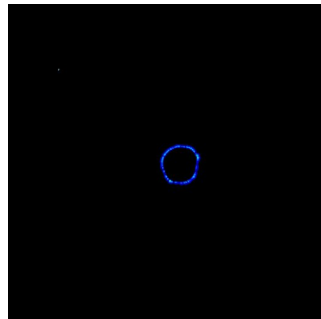


Effet de la dynamisation par plasma ionique

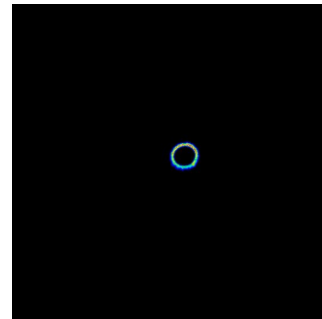
Eau de
 Lourdes



Eau ultrapure

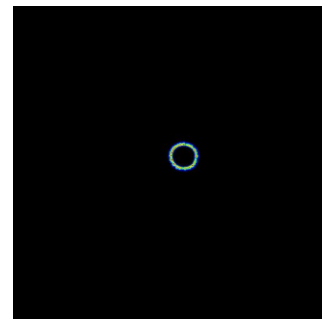
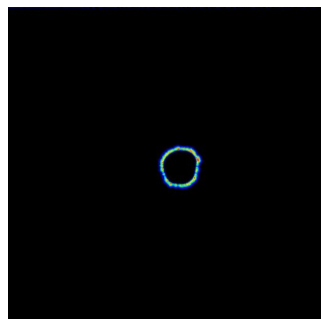
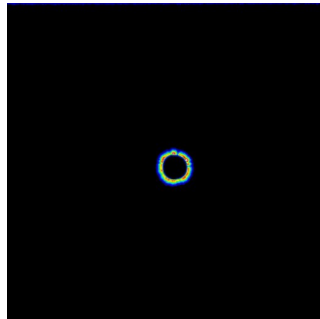


Solution pigment
 fluorescent



Avant
dynamisation

Après
dynamisation



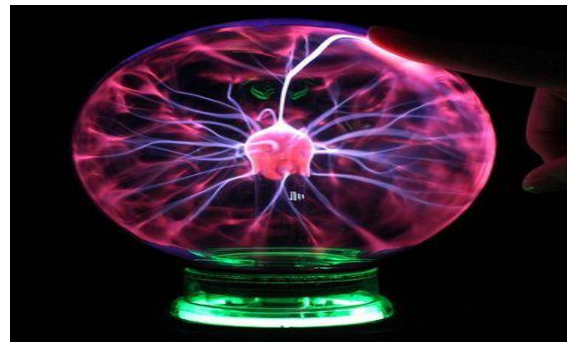
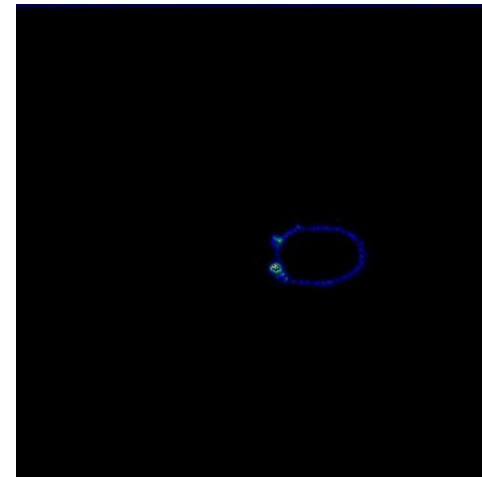
Doigt « dynamisé » vs eau
ultrapure dynamisée et eau
ultrapure non dynamisée

Le pont photonique s'établit
systématiquement avec l'eau
dynamisée par le plasma
dans les mêmes conditions
que le doigt

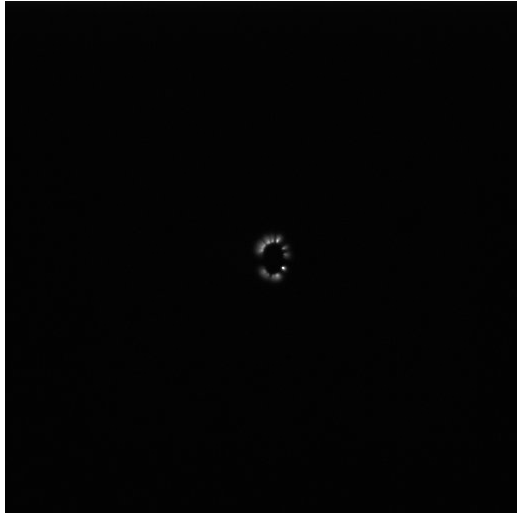


Doigt « dynamisé » vs EUP
dynamisée 10 s et EUP
dynamisée 5 min.

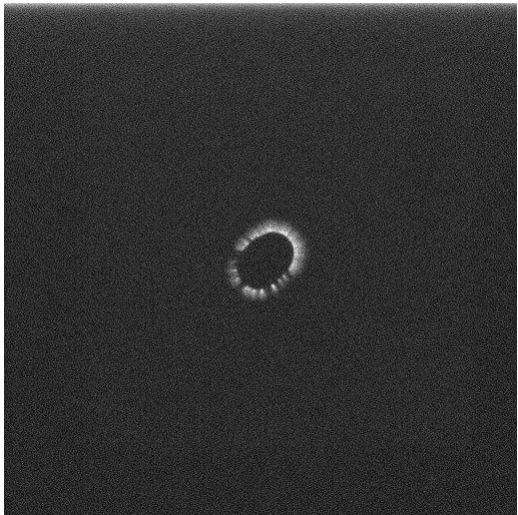
L'intensité du pont est
proportionnelle à la durée
de la dynamisation



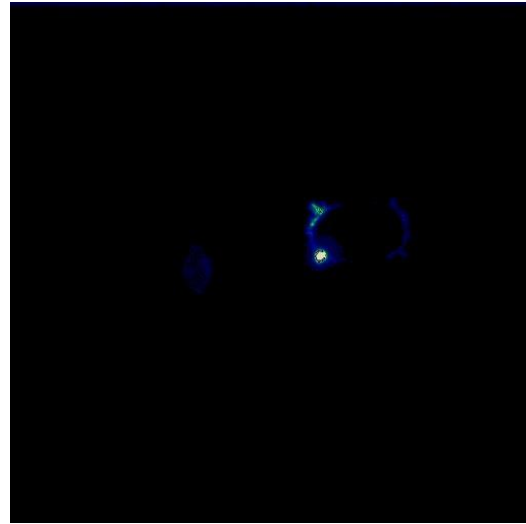
Hydrolats *Rosa canina* vs *Rosa rugosa*



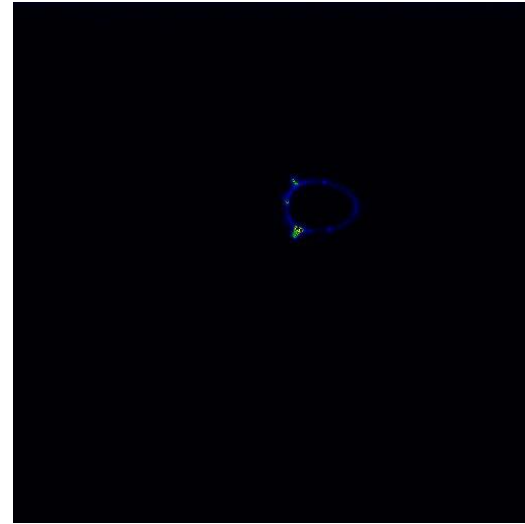
Rosa rugosa



Rosa canina



Laurent



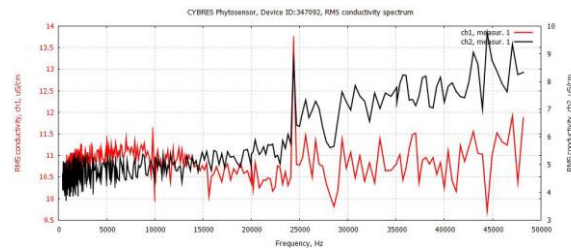
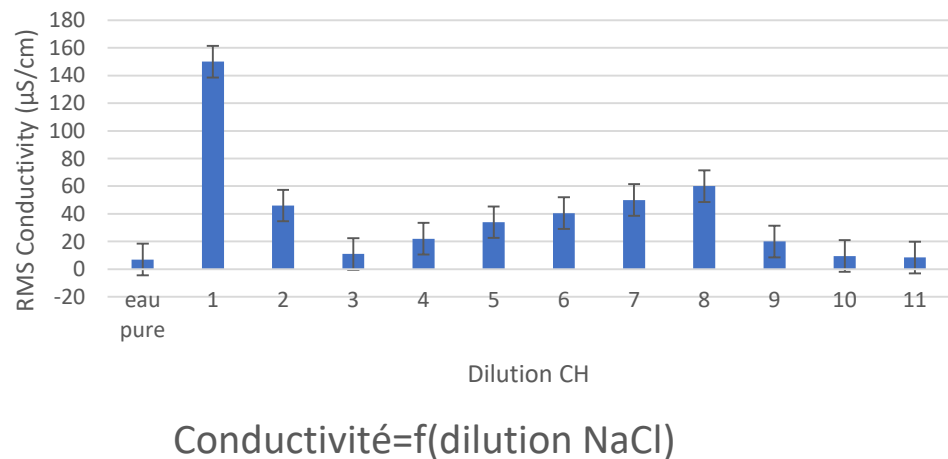
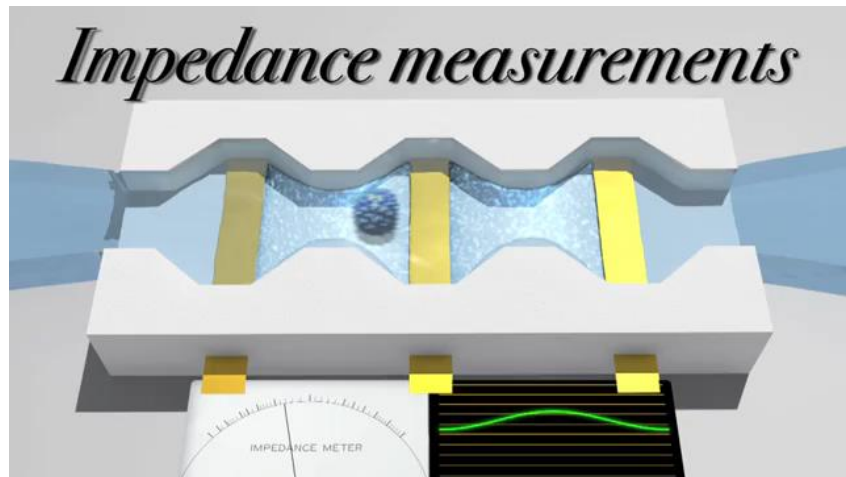
Hélène



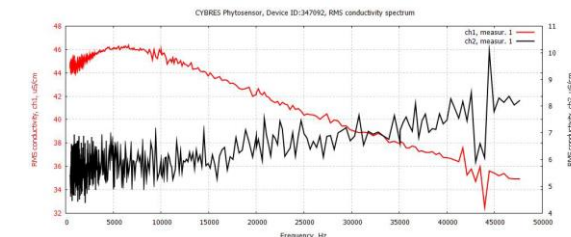
Bruno

Tous les testeurs présentent un pont photonique avec *Rosa canina*
(utilisation en homéopathie par les laboratoires Boiron)

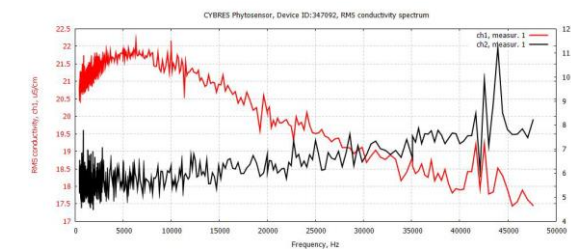
Interprétation des Hautes dilutions par EIS et IMEC



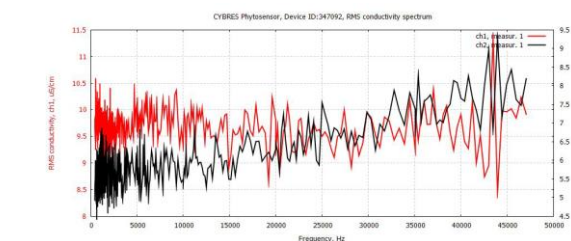
3 CH : 10-12 µS/cm



6 CH : 35-46 µS/cm

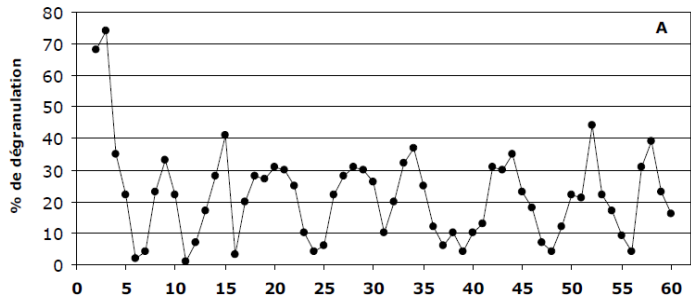


8 CH : 52-69 µS/cm

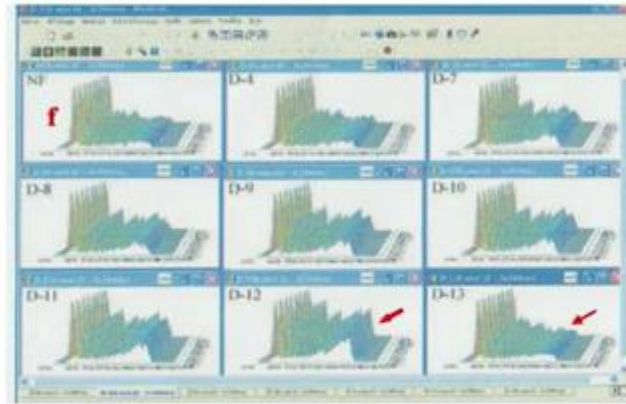


11 CH : 9-10 µS/cm

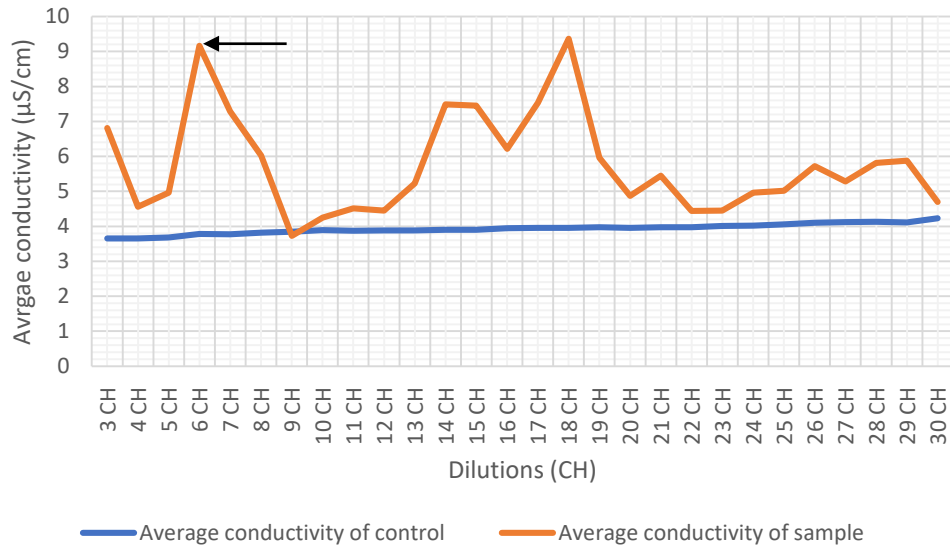
*Témoin (courbe noire)
eau pure 10 µS/cm*



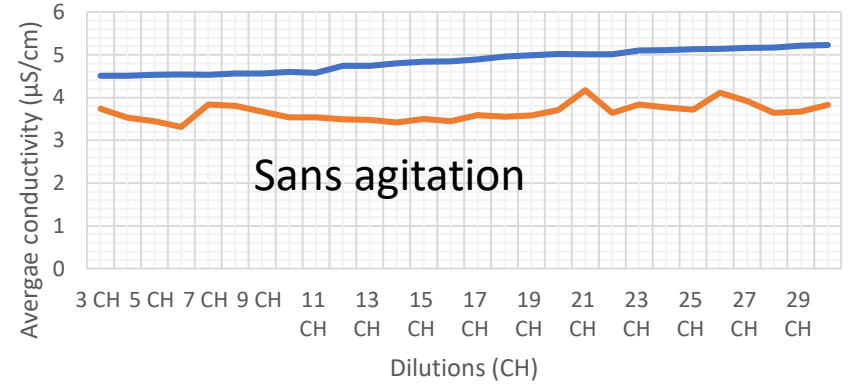
Benveniste et al., Nature, 1988



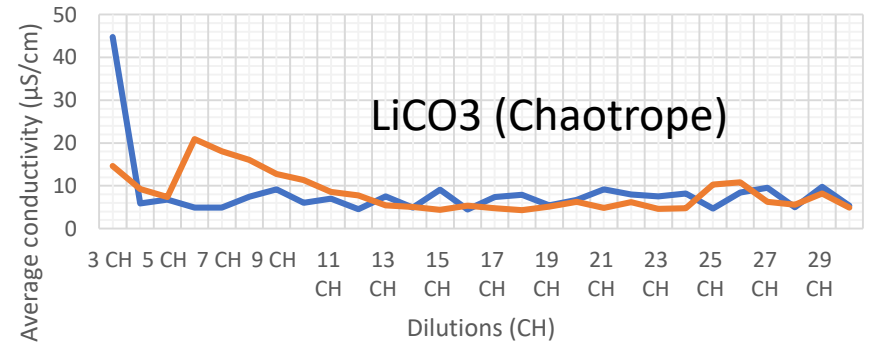
Montagnier et al. (2010)



Hautes dilutions NaCl (cosmotrope) et succussions



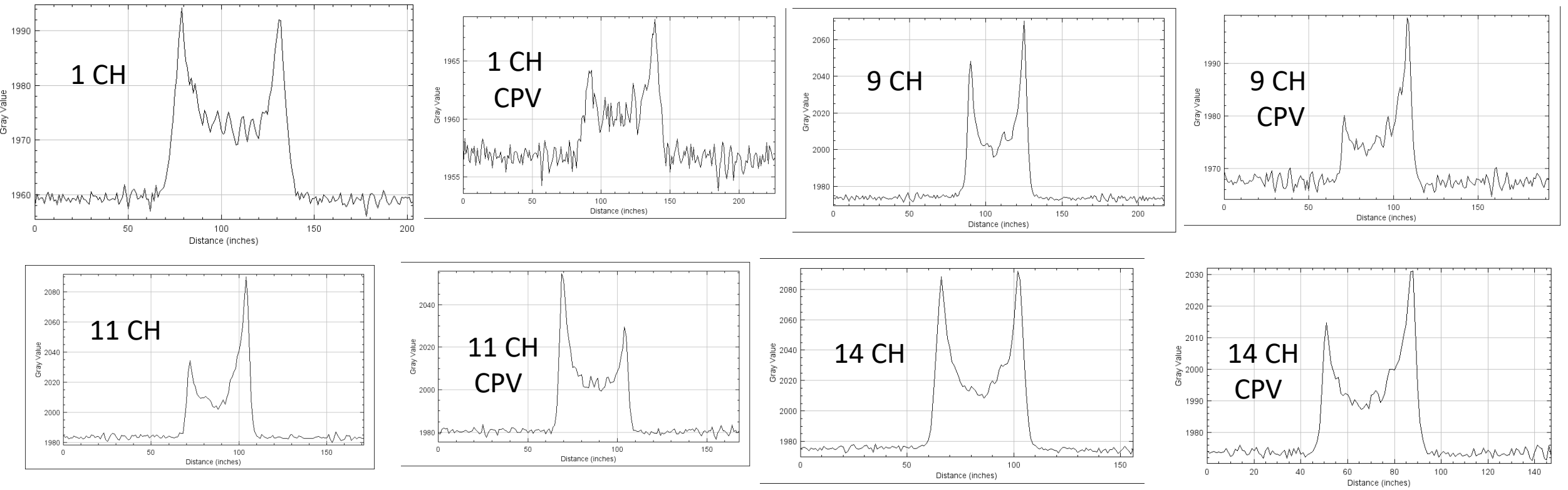
— Average conductivity of control — Average conductivity of sample



— Average conductivity of control — Average conductivity of sample

Explication du mécanisme de l'homéopathie : parution de mon article début 2022 (ISSN 2266-9949)
=> L'eau est un cristal quantique temporel à l'échelle mésoscopique

Hautes dilutions d'une eau H₂O₂/NaHCO₃ mesurées par électrophotonique



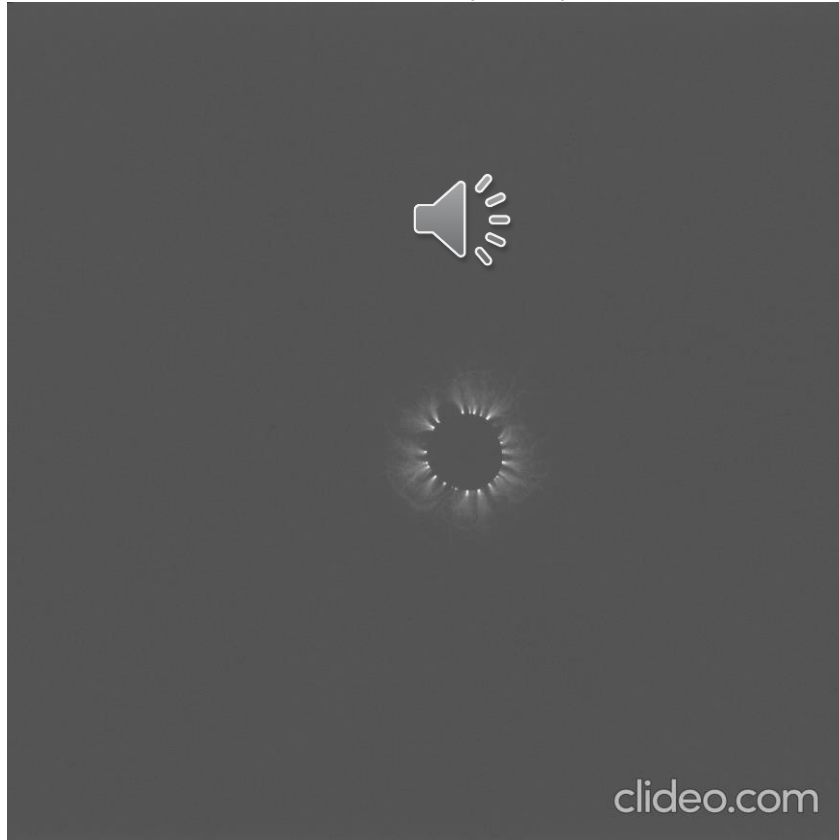
Résultats montrent une légère diminution des pics de l'intensité lumineuse après magnétisation par le Circular Poyinting Vector (CPV)...



Mais difficile de voir une influence des dilutions au moyen de l'IMEC

Comment attirer le regard du grand public sur nos travaux scientifiques ?

Jérémy Roussel (SDD)



Elementerre + Musique plantes



Par la danse et la musique de l'eau...

Musique des plantes : EIS et EEG aussi



Expérimentations de Musique des plantes : chêne plusieurs fois centenaire.

Le public est intrigué, attiré, pose des questions.



Musique des plantes : algue en aquarium



* Source : Pierre NICOLAS, Les secrets de l'eau, p 263

Améliorer la musique des plantes (en vue du lancement prochain du VITAVOX) :

- * Son binaural + 429,6 Hz
- * Enceintes intégrées
- * Arrangeur (sampler, séquenceur, synthétiseur)
- * Enceinte sac à dos qui transforme le son en vibrations dans tout le corps
- * Pulvérisation d'une solution colloïdale marine (E.A.U) sur le CD audio : meilleure finesse sonore + proche du son naturel *



Protéodie : son brut



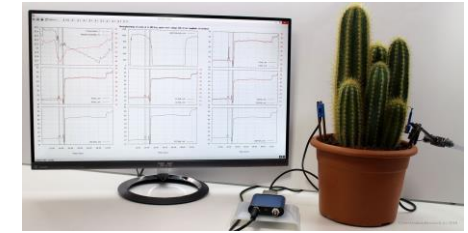
Protéodie avec orchestration



Liste du matériel pour la plateforme HALO2Mer

Matériels analyses :

- Spectrométrie d'impédance électrochimique : capteurs eau et liquides, capteurs végétaux (potentiel physio, lumière, transpiration...)



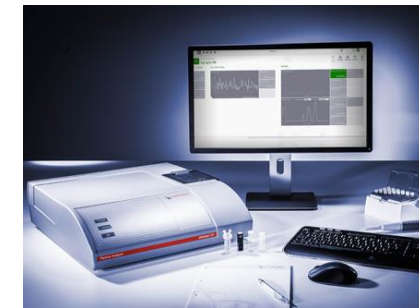
- Spectro UV, visible, FTIR, Fluorescence



- Life energy meter (Elementerre) : liquides, solides, CEM, plantes



- Diffraction laser (nanoparticules, nanobulles), potentiel zêta (charges électriques)



- Tension superficielle, Activité de l'eau
- BEV (pH, résistivité, potentiel redox, rH2, μW)
- IMEC
- Microscopie épifluorescence, confocale, contraste de phase, USB, analyse image
- Tests activité antivirale et antibactérienne
- Tests bleu de méthylène (hydrogène moléculaire)

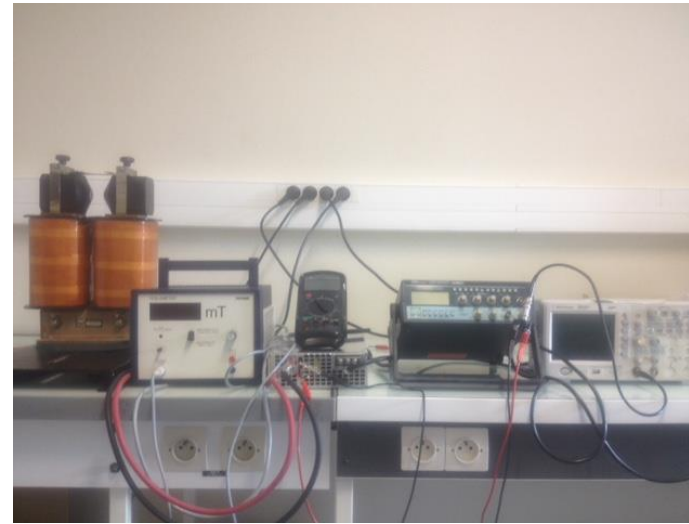
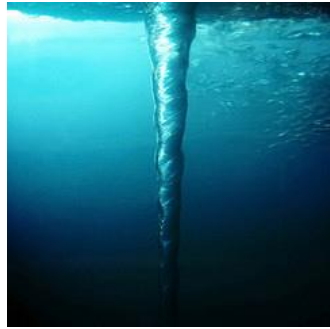
HALO2Mer

Science Holistique des algues et de l'eau de mer

*Science Holistique
des Algues et de
l'Eau de Mer*

Procédés :

- Dynamisation de l'eau : Electroaimant 10,000 Gauss, CPV (ondes scalaires), plasma ionique, vortexeur, condensateur cire d'abeille « Marcel Violet », baignoire hydrospire « Jeanne Rousseau », CEF, hydrogénation, électrolyse, cristaux, ondes de forme, aimants néodyme,

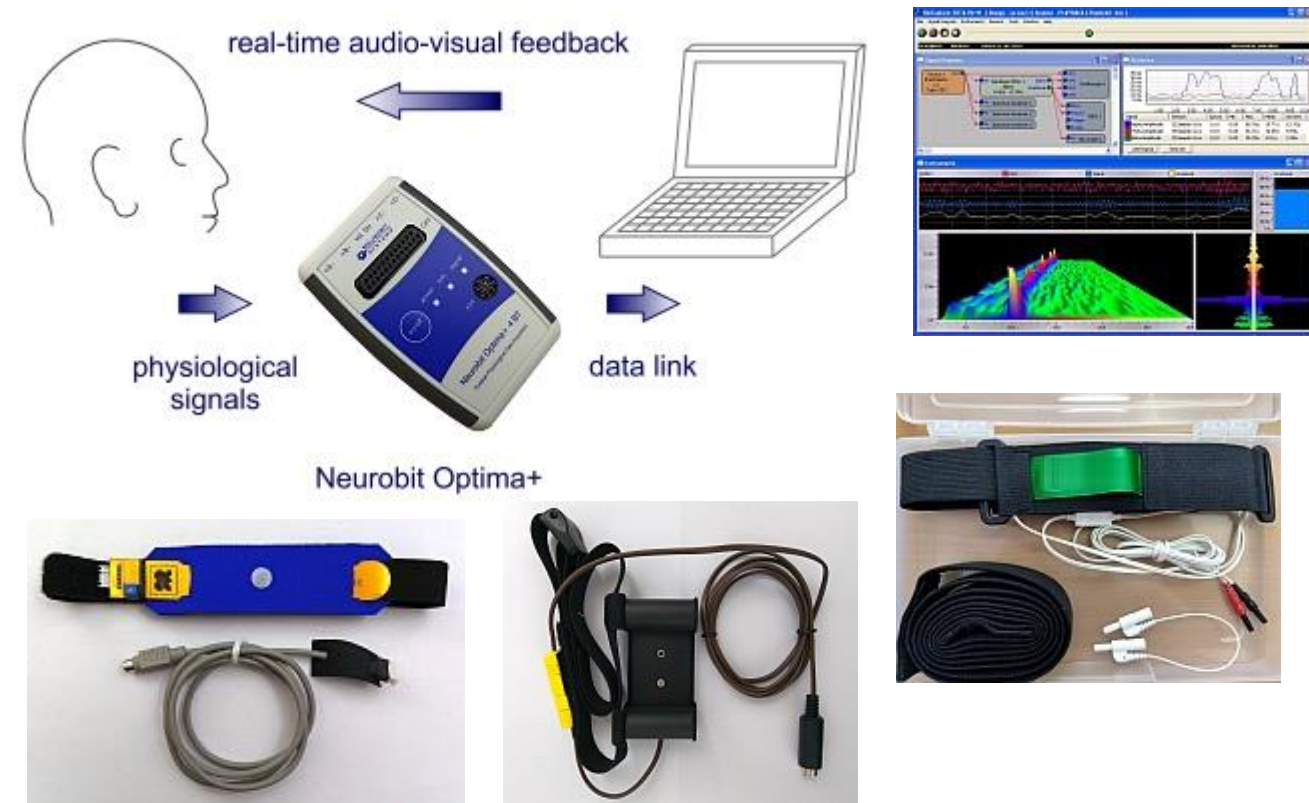


- Extracteur double vis, Procédés à membranes (OI, NF, UF, MFT, ED)



Santé humaine :

- EEG, ECG, EMG, nIR HEG (équivalent magnétoencéphalogramme fonctionnel), pIR HEG (mesure émotions), GSR (résistivité peau), HRV, cohérence cardiaque, NFB, logiciels Bioexplorer et Brainbay



- Spooky 2 : kit argent colloïdal, champs magnétiques pulsés, numériseur d'échantillons, soin par les fréquences de Rife, biofeedback

Spooky2 Portable GeneratorX Essential Kit



Et aussi...

- Cornéomètre, sébumètre (cosmétique)

- Protection ondes : Shungite, mu métal

- Nafion



- Divers :

- Musique des plantes, arrangeur Akai MPC One (sampler, séquenceur, synthétiseur), carte son (enregistrement audio), MAO

- Serre de culture indoor

- Photographie immersion time lapse 360°

- etc



+ accès aux autres équipements du LBCM et des autres labos de l'UBS.

